

**DESCONTINUIDADE LITOLÓGICA  
DE ALGUNS SOLOS DA  
REGIÃO DE PIRACICABA**

**ANTONIO ELÍSIO MENESES LÔBO**

Bel. em História Natural

**Dissertação apresentada à Escola Superior de  
Agricultura “Luiz de Queiroz”, da Universidade  
de São Paulo, para obtenção do título de Mestre.**

**PIRACICABA**

**Estado de São Paulo**

**— 1971 —**

A meus pais  
e  
irmãos  
ofereço

## A G R A D E C I M E N T O S

O autor expressa seus sinceros agradecimentos as seguintes pessoas e instituições:

Prof. Dr. Antônio Carlos Teixeira Mendes, pela orientação no presente trabalho.

Prof. Dr. José Luiz Ioriatti Demattê, pelas sugestões e irrestrita colaboração durante todo o trabalho.

Prof. Dr. Arary Marconi, pelas sugestões e ajuda na identificação microscópica das espécies mineralógicas.

Dr. Antônio Batista Ferreira Lima, pela revisão do resumo em inglês.

Engºs. Agrºs. Wanderley José de Melo e Hermes Fadel, pela revisão do texto em português.

Profª. Francisca Maria de Vasconcelos Fontenelle, pelo constante estímulo e apôio dispensado.

Sr. Helder Fontenelle, aluno de Eletrotécnica do C.T.U., da Univ. Fed. de Juiz de Fora, MG, pelo desenho dos gráficos.

Ao Deptº de Solos e Geologia da E.S.A. "Luiz de Queiroz", pela cessão do laboratório onde foi realizado este trabalho.

A Escola Superior de Agricultura "Luiz de Queiroz", U.S.P., por ter permitido a realização do presente trabalho.

Ao Banco Nacional de Desenvolvimento Econômico, pela concessão de Bôlsa de Estudo durante todo o curso.

Ao Sr. Miguel Célio Hyppolito, pelos trabalhos datilográficos e ao Sr. Pascoalino Tabai, pela mimeografia do trabalho.

A todos aquêles que, de uma maneira ou de outra, cooperaram, direta ou indiretamente, para a elaboração do presente trabalho de pesquisa.

## CONTEÚDO

	Página
1 - <u>INTRODUÇÃO</u> .....	1
2 - <u>REVISÃO BIBLIOGRÁFICA</u> .....	3
3 - <u>MATERIAL E MÉTODO</u> .....	11
3.1 - <u>Material</u> .....	11
3.1.1 - Solos.....	11
3.1.2 - Peneiras.....	18
3.1.3 - Instrumental Óptico.....	19
3.2 - <u>Método</u> .....	19
3.2.1 - Amostragem.....	19
3.2.2 - Preparo da amostra.....	20
3.2.2.1 - Remoção dos sais solúveis e cátions divalentes tro- cáveis.....	20
3.2.2.2 - Decomposição da matéria <u>or</u> gânica e dissolução do MnO <sub>2</sub> por tratamento com H <sub>2</sub> O <sub>2</sub> ...	20
3.2.2.3 - Remoção dos óxidos de fer- ro livre.....	21
3.2.2.4 - Dispersão e separação da areia.....	22
3.2.3 - Análise mecânica da areia total.....	22
3.2.4 - Separação das frações leve e pesada.	23
3.2.5 - Montagem das lâminas para análise <u>mi</u> croscópica.....	25
3.2.6 - Contagem dos grânulos e identifica- ção das espécies minerais.....	25
4 - <u>RESULTADOS E DISCUSSÃO</u> .....	27
4.1 - <u>Análise mecânica da areia total</u> .....	27
4.2 - <u>Análise mineralógica da fração areia fina</u> ...	35
5 - <u>CONCLUSÕES</u> .....	56
6 - <u>RESUMO</u> .....	58
7 - <u>SUMMARY</u> .....	60
8 - <u>BIBLIOGRAFIA</u> .....	62

## I - INTRODUÇÃO

Após o desenvolvimento do novo sistema de classificação de solos, introduzido pelos Estados Unidos da América do Norte, em diversas etapas, a partir de 1960, a mineralogia do solo, tanto das frações grosseiras quanto das frações mais finas, recebeu um considerável avanço.

Este sistema de classificação é essencialmente um sistema morfo-genético, onde as características do solo são observadas com mais critério. Devido, principalmente a este fato, e considerando que o solo nada mais é do que uma assembléia de minerais, é que as diversas sequências dos minerais que são regidos pela ação do intemperismo puderam ser, parcial ou totalmente, solucionadas.

Muitas razões podem ser citadas para explicar a falta de dados mineralógicos, em estudos de classificação e mesmo de gênese de solos, antes da década de 60. Segundo Mc CRACKEN (34), as principais razões para explicar este fato devem-se aos seguintes fatores: a) falta de informações a respeito da natureza cristalina dos minerais; b) uma ênfase prévia a respeito das características diferenciais externas antes de serem observadas as propriedades internas do solo, tais como as mineralógicas; c) atribuição de muito valor às características morfológicas observadas no campo, excluindo-se as determinações mineralógicas; d) falta de informações a respeito de correlações entre as propriedades do solo e as mineralógicas.

De acordo com este mesmo autor, um dos problemas agravantes no estudo da classificação de solos é a constatação da uniformidade ou não do perfil de solo. É exatamente nesta questão que a mineralogia das frações grosseiras do solo torna-se imprescindível.

Baseado nestas palavras de Mc CRACKEN (34), é que foi proposto o presente trabalho.

Foram estudados quatro perfis de solos, de ocorrência na região de Piracicaba, Estado de São Paulo, em um total / de 3º horizontes. Em cada horizonte foram diagnosticados os minerais pesados (zirconita, turmalina, estaurolita e opacos) e os leves (quartzo), em uma média de contagem de 400 grânulos por amostra. Posteriormente foram calculadas as relações entre estes minerais para o estudo da uniformidade ou não dos perfis / dos solos em pauta.

## 2 - REVISÃO BIBLIOGRÁFICA

Os minerais são frequentemente classificados em dois grupos, com base nas suas respectivas densidades específicas. Há os denominados minerais leves, que possuem uma densidade específica menor que 2,85 , e os minerais pesados, cuja densidade específica é maior que 2,85 . As frações ditas leves incluem o quartzo, a calcita, os feldspatos, os minerais de argila e as micas. Estes minerais perfazem, mais ou menos, 98% dos sedimentos. Os minerais pesados, embora constituam sómente 2% da amostra, incluem uma grande variedade de espécies sendo, por esta razão, / mais usados que a fração leve na caracterização particular de um depósito. A maior parte dos minerais pesados são acessórios.

A estabilidade, ou resistência ao intemperismo, das espécies minerais depende de um grande número de fatores, entre os quais, a dureza, a clivagem, o coeficiente de expansão, as fendas originais do cristal e a solubilidade no meio específico. Por outro lado, outros fatores como tamanho do grânulo ou a sua superfície específica podem vir a dominar. Algumas destas características são inerentes à espécie mineral, e outras podem vir a ser acidentais, como as fendas no cristal e tamanho do grânulo. As características acidentais são geralmente ignoradas na consideração da estabilidade relativa das espécies minerais, devido ao fato delas serem mais ou menos estáveis (HASEMAN e MARSHALL, 24).

PETTIJOHN (42), propôs uma sequência de estabilidade baseada na persistência das espécies minerais. Esta sequência tem, em primeiro lugar, o mineral mais estável e, em último lugar, o mais instável ( -3 anatásio, -2 muscovita, -1 rutilo,

1 zirconita, 2 turmalina, 3 monazita, 4 quartzo, 5 granada, 6 biotita, 7 apatita, 8 microclina, 9 ilmenita, 10 magnetita, 11 estauralita, 12 cianita, 13 epidoto, 14 hornblenda, 15 andalusita, 16 topázio, 17 titonita, 18 zoisita, 19 augita, 20 silimanita, 21 hiperstênio, 22 diopsídio, 23 actinolita e 24 olivina; os números negativos desta série significam que os minerais são mais abundantes nos sedimentos antigos que nos recentes). Entre tanto, existem discrepâncias entre as várias sequências de estabilidade, e elas se referem, principalmente, aos minerais acessórios e aos ferromagnesianos.

Posteriormente, muitos autores propuseram modificações nesta sequência, como Weyl (BREWER, 7 e 8), Marel (JACKSON e SHERMAN, 27) Graham (JACKSON e SHERMAN, 27), SMITHSON (50), DRYDEN e DRYDEN (17) e outros.

A propósito das discrepâncias nas classificações / dêstes minerais dentro destas sequências, BREWER (7 e 8), diz / que muitas, e possivelmente todas as discrepâncias entre as sequências, podem ser explicadas em termos das variações das características químicas e físicas das espécies minerais estudadas em cada caso específico e o ambiente de intemperização do qual êstes dados foram obtidos.

Um dos problemas mais complexos no estudo da gênese dos solos, é a determinação da presença ou não de descontinuidades litológicas. Muitas técnicas mineralógicas têm sido aplicadas para resolver este problema. A literatura é vasta no que diz respeito a estas determinações, tanto para as frações grosseiras (arcia e limo), como para as frações mais finas (argila).

Estes estudos foram iniciados por HASEMAN e MARSHALL (24), que utilizaram o microscópio polarizante para determinar as porcentagens de zirconita e outros minerais pesados nos horizontes dos perfis de solos. Os autores citados, tentaram interpretar os dados obtidos para verificação da uniformidade ou

não do perfil do solo em relação com a rocha de origem, informação esta de grande utilidade para o estudo de gênese e de classificação dos solos.

BEAVERS (5), utilizando técnicas de espectografia dos raios-X, determinou as porcentagens de zirconita em diversos horizontes de solos. Com êstes dados, o referido autor pode constatar problemas de descontinuidades litológicas, assim como, utilizou êstes resultados para a identificação do material de origem em questão, tais como "glacial till" e "loess".

DOROTHY CARROLL (11), em estudos mineralógicos realizados na Austrália, chamou a atenção para a importância do estudo dos minerais pesados afirmando que este sempre dá uma indicação clara a respeito da natureza do material de origem dos solos, como também, é de muita utilidade para o mapeamento geológico.

JACKSON (26), estudando problemas a respeito da identificação do material originário, concluiu que a interpretação deve ser feita baseada nos seguintes fatos: observação do total da quantidade de minerais pesados presentes na amostra do solo e na proporção relativa de cada espécie mineral.

HUMBERT e MARSHALL (25), com o fim de estudar a gênese dos sedimentos e determinar a extensão do intemperismo e as alterações sofridas pelos minerais desde a deposição, observaram que, em solos originados da decomposição de granitos e de diabase, o quartzo mostra ação mais intensa ao intemperismo, de acordo com a profundidade, ocorrendo o inverso com os feldspatos.

ARNEMAN et al (4), estudaram os minerais pesados de três solos do Estado do Minnesota, USA, com a finalidade de determinar a gênese e caracterizar os horizontes de cada solo, e concluíram que os solos eram jovens, tendo em vista as pequenas diferenças mineralógicas entre os mesmos.

Muitos outros autores utilizaram-se de minerais pe-

sados para a caracterização e estudos de correlação e gênese de solos. Destacam-se os trabalhos de JEFFRIES (28), JEFFRIES e WHITE (29), BUCKHANNAM e HAM (10), SMITHSON (50 e 51), SEALE (48), KREBS e TEDROW (30), GUERRERO (23), CRAMPTON (14).

Consideração oportuna deve ser dada para a natureza do material do solo, recorrendo a cálculos das espécies minerais para o estudo da uniformidade e origem do material do solo. Muitos minerais pesados não são particularmente resistentes ao intemperismo (7 e 8).

HASEMAN e MARSHALL (24), citam a hornblenda como um bom mineral para uso na comparação rigorosa do intemperismo, para diferentes horizontes do perfil do solo e nos solos formados sob diferentes condições climáticas. Entretanto, outros minerais pesados superam, em proporções diferentes, a hornblenda. Consequentemente, as proporções e quantidades totais de várias espécies minerais pode mudar consideravelmente com a profundidade dos perfis formados, conforme a uniformidade do material originário. Esta situação tem sido demonstrada adequadamente por meio de numerosos trabalhos (BREWER, 6).

O intemperismo é também efetivo para os diferentes graus, conforme as espécies minerais, podendo, desta forma, causar diferenças nas relações do mineral dentro das frações de mesmo tamanho, nos vários horizontes do perfil de solo formado (7 e 8).

De acordo com esta situação, BREWER (8), cita dois caminhos a seguir: a) comparar as análises das séries de diferentes profundidades no perfil e delinear as porcentagens de várias espécies de minerais intemperizadas, em face da profundidade. A forma da curva encontrada indica, mas não prova, se as diferentes quantidades dos minerais são próprias do intemperismo, ou se são do próprio material de origem, isto é, quaisquer diferenças nas condições de deposição ou no material geológico, se

as interrupções são associadas com o aparecimento de diferentes espécies minerais. Este método deve ser usado com bastante cuidado desde limites entre horizontes bem definidos, tal como aquêle entre horizontes A e B dos solos planossóis, pois, pode causar uma interrupção constante na curva, embora o perfil seja desenvolvido de um material de origem uniforme; b) o que se funde na comparação da espécie mineral mais resistente, tal como zirconita e turmalina. Ainda que este método mostre um aumento na soma total, nos horizontes onde o intemperismo foi reduzido à quantidade de minerais menos resistentes, a razão do total de zirconita para o total de turmalina (zirconita/turmalina) no material completo, ou no tamanho específico das frações, poderá ser muito mais constante com a profundidade, se o material de origem é uniforme. As variações nestas razões, pode ser delineada, em face da profundidade do perfil, dando uma curva / plana, suave, para um material de origem uniforme. O uso de tal razão para minerais resistentes, elimina grandemente as dificuldades envolvidas nos perfis com limites entre horizontes definidos, o qual coincide com as diferenças no grau de intemperismo. A razão de dois minerais resistentes, poderia não alterar significativamente através de tal limite, como a soma das espécies minerais intemperizadas. Em geral, curvas suaves, sem inflexões, indicam uniformidade.

RUHE (45 e 47), por outro lado, estudando o grau / de intemperização de solos, usou a variação da relação: resistência para minerais intemperizados (zirconita + turmalina/anfíbolio + piroxênios e quartzo/feldspatos).

Este mesmo autor, utiliza a ocorrência de linhas de pedras para constatar a presença de descontinuidades litológicas (45 e 46).

A importância da aplicação do estudo da fração / grossa dos solos, tendo como principal objectivo, a complementação das considerações genéticas deste, pode ser constatada na

afirmação de BREWER (8), que diz o seguinte: "Talvez a mais importante aplicação da análise mineralógica das frações grosseiras do solo, é a de constatar ou não a uniformidade do perfil do solo em relação a rocha, ou em relação aos próprios horizontes". Prosseguindo, este autor observa que "o melhor método para tal estudo, o mais digno de confiança, é aquêle baseado na comparação dos minerais mais resistentes, tais como, a zirconita e a turmalina".

A aplicação da mineralogia das frações do solo, na classificação de solos, iniciou-se com a introdução do novo sistema de classificação de solos. De acordo com o SOIL SURVEY STAFF (54), de 1967, a mineralogia das frações do solo (frações grosseiras e finas) é utilizada para distinção de solos ao nível de família. As chaves mineralógicas, segundo esta publicação, são "baseadas na composição mineralógica aproximada de certas / frações do solo".

Além deste nível taxonômico, a mineralogia é aplicada em outros níveis, por exemplo, ao nível de ordem e grande grupo. As características mineralógicas são de grande importância na identificação do horizonte óxico, consequentemente, na identificação dos Oxissóis. Os grandes grupos "Paleo", de alguns Ultissóis, são definidos, tendo como base, análises mineralógicas (SOIL SURVEY STAFF, 54).

Recentemente, em trabalhos com solos tropicais DEMATTE (16) e, posteriormente, MEDEIROS (35), aplicaram análises mineralógicas para a classificação dos solos, ao nível de família. Por outro lado, pode-se notar no trabalho de DEMATTE (16), que este autor utiliza a composição mineralógica da fração argila, para constatação de deposições diferentes.

Em condições de clima tropical, diversos autores, entre os quais, LEINZ (32), GORDON JR (22), SETZER (49), ALMEIDA (2), FREITAS (19 e 20), ALMEIDA e BARBOSA (3), MEZZALIRA (39),

CARVALHO (12), MELFI (37), MELFI et al (38), MARCONI (33), trabalham com as frações grosseiras de diversos solos. No entanto, a maioria destes trabalhos procuram sómente descrever e determinar as espécies minerais que ocorrem em alguns horizontes dos solos, não dando uma interpretação mais profunda a respeito dos dados.

A aplicação da mineralogia da fração grosseira em solos para finalidades genéticas, pode ser vista nos trabalhos pioneiros de DRYDEN e DRYDEN (17). Estes autores apresentaram uma sequência de índices de estabilidade de minerais. Assim é que, a zirconita recebe o valor 100, a turmalina 80, anfibólio e hornblenda 5 e piroxênio e hiperstênio, valor 1. Portanto, / uma relação de intemperização para os minerais pesados, pode / ser determinada a partir da porcentagem, por contagem, de zircônia e turmalina sobre a porcentagem, por contagem, de minerais menos resistentes, anfibólio e piroxênio.

Tendo como base os trabalhos dos autores anteriormente citados, RUHE (45), aplicando os índices de intemperismo, determinou diversas correlações entre os perfis de Paleossóis da região de Iowa. A análise mineralógica (fração pesada) dos horizontes A<sub>2</sub>, B<sub>2</sub> e C, do solo Yarmouth-Sangamon, mostrou uma / ordem decrescente da relação de intemperismo. No horizonte A<sub>2</sub>, a relação foi de 1,55 (56% de minerais resistentes e 36% de minerais mais facilmente intemperizáveis). No horizonte B<sub>2</sub>, a relação foi de 1,38 (54% de minerais resistentes e 39% de minerais mais facilmente intemperizáveis). No horizonte C, a relação foi de 1,24 (49% de minerais resistentes e 40% de minerais mais facilmente intemperizáveis). Estes dados mostram que o horizonte A<sub>2</sub> é mais intensamente intemperizado que o B<sub>2</sub> e este, por sua vez, é mais intensamente intemperizado que o horizonte C.

GOLDICH (21), mostrou um aumento na resistência do intemperismo nos minerais leves da série dos plagioclásios, microclina, ortoclásio e quartzo. Então, uma série de intemperi-

zação para minerais leves, pode ser estabelecida a partir das porcentagens, também por contagem, dos feldspatos mais intemperizados.

RUHE (45), utilizando o princípio introduzido por GOLDICH (21), para os minerais leves, observou que nos horizontes A<sub>2</sub>, B<sub>2</sub> e C do solo Yarmouth-Sangamon, um paleo-planossol a relação de intemperização decresce da superfície para os horizontes mais inferiores. Para o A<sub>2</sub> a relação foi de 4,00, 3,16 para o B<sub>2</sub> e de 2,70 para o C.

Embora atualmente exista um numero grande de aplicações da mineralogia de solos, tanto para o estudo da classificação quanto para os de gênese, uma série grande de importantes problemas, permanece ainda sem solução.

### 3 - MATERIAL E MÉTODO

#### 3.1 - Material

##### 3.1.1 - Solos.

No presente trabalho foram utilizados um perfil de solo da série Iracema (Latossol Rôxo), município de Iracemápolis, um perfil de solo da série Três Municípios (Hidromórfico), município de Rio Claro, e dois perfis de solos da Bacia do Ribeirão das Palmeiras, município de Rio das Pedras, classificados como Ultissóis (35). Estes dois perfis de solos se encontram em uma mesma toposequência, representados por RP8 e RP7, como ilustra a Figura 1 e que apresenta, ainda, a relação destes dois perfis de solos no que diz respeito às respectivas distâncias e altitudes, bem como, o traçado representativo da linha de pedras existente nos mesmos (35).

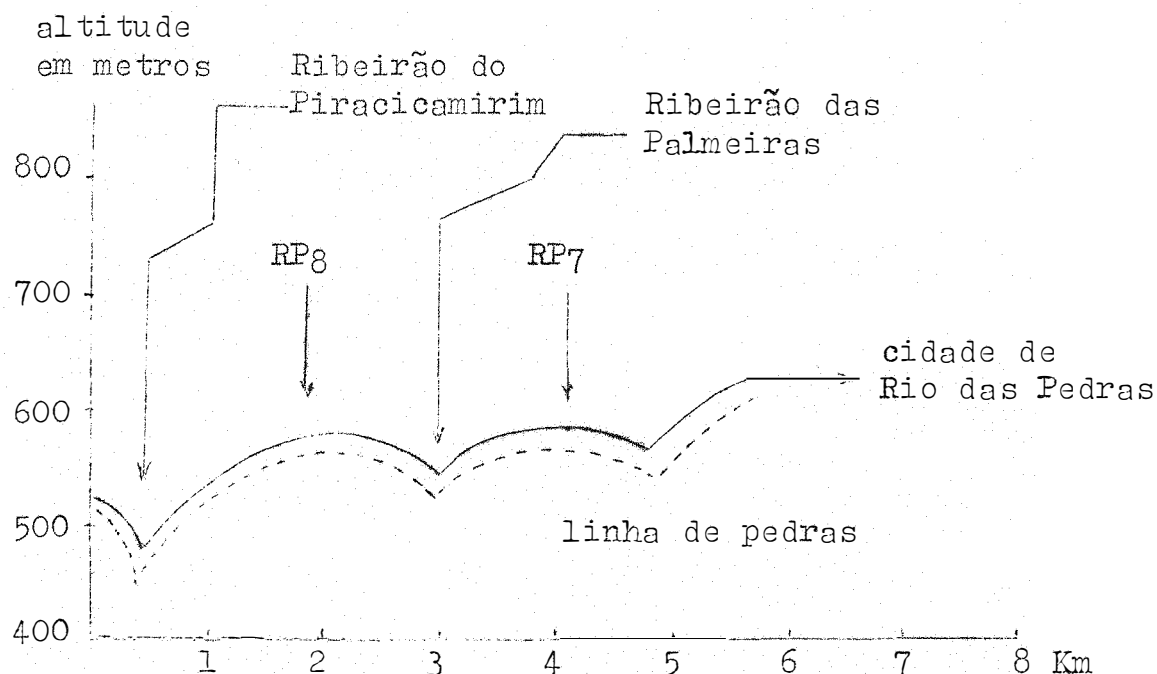


Figura 1 - Corte transversal mostrando a sequência de solos RP8 e RP7

Convém salientar que, a partir dêste capítulo, os solos aqui estudados serão denominados de perfis: P<sub>1</sub>, P<sub>2</sub>, P<sub>3</sub> e P<sub>4</sub> para o Latossol Rôxo, Hidromórfico, Ultissol (RP<sub>7</sub>) e Ultissol (RP<sub>8</sub>), respectivamente.

A seguir são apresentadas as principais características morfológicas, assim como as classificações pelos conceitos da Comissão de Solos (13) e da 7ª Aproximação (53) dos solos estudados.

#### Perfil 1.

Este perfil de solo foi classificado como Série Iracema (RANZANI *et al.*, 43) e corresponde ao grande grupo Latossol Rôxo e à ordem Oxisol.

A<sub>p</sub> 0 - 20 cm; pardo avermelhado escuro (2,5 YR 3/4, 3/4 úmido); fina, composta, blocos sub-angulares, média, pequena; ligeiramente duro, friável, plástico, pegajoso; raízes abundantes, fasciculadas, muito finas; macroporos pequenos, poucos; transição clara, plana.

B<sub>1</sub> 20 - 55 cm; pardo avermelhado escuro (2,5 YR 2/4, 3/4 úmido); fina; blocos angulares e sub-angulares, moderada, pequena a média; ligeiramente duro, firme, plástico, pegajoso; raízes comuns, fasciculadas, muito finas; muitos poros / pequenos e poucos grandes; transição suave, gradual; cerosidade pouca.

B<sub>21</sub> 55 - 100 cm; vermelho ferrugem (10 R 3/3, 3/4 úmido); fina; fraca, pequena, blocos angulares e sub-angulares;

friável, ligeiramente duro, plástico, pegajoso; raízes poucas e finas; muitos poros pequenos e poucos grandes; transição suave, gradual.

B<sub>22</sub> sup. 100 - 170 cm; pardo avermelhado escuro (2,5 YR 3/4, 3/6 úmido); mediana; fraca, muito pequena; friável, ligeiramente duro, plástico, pegajoso; raízes poucas e finas; transição suave, gradual.

B<sub>22</sub> inf. 170 - 220 cm; vermelho escuro (2,5 YR 3/6, 3/4 úmido); fina; granular, fraca, muito pequena; friável, macia, plástico, pegajoso; raízes poucas e finas; transição suave, gradual.

B<sub>23</sub> 220 - 277 cm; vermelho ferrugem (10 R 3/4, 3/6 úmido); fina; blocos angulares e sub-angulares, moderada, pequena a média; friável, macio, plástico, pegajoso; transição suave, gradual.

IIC<sub>1</sub> 277 - 333 cm; vermelho escuro (10 R 3/6, 3/4 úmido); fina; grande quantidade de fragmentos de rocha, concentrado, formando uma linha de pedras com espessura variável, em torno de 20 cm.

IIC<sub>2</sub> 333 - 373 cm; vermelho escuro (10 R 3/6, 3/4 úmido); fina, blocos sub-angulares, granular, pequena; friável, ligeiramente duro, plástico, ligeiramente pegajoso; cerosidade fraca e pouca.

IIC<sub>3</sub> 373 - 401 cm; vermelho ferrugem (10 R 3/3, 3/4 úmido); mosquado amarelo parda cento (10 YR 6/8).

IIC<sub>3</sub> 401 - 447 cm; vermelho ferrugem (10 YR 6/8). (amostra trâdada)

R 447 - 467 cm +; rocha.

### Perfil 2

Este perfil de solo foi classificado como série Três Municípios (RANZANI et al., 43) e corresponde à ordem Ultissol, sub-ordem Hidromórfico. A partir do B<sub>3g</sub>, a amostra foi coletada com trado.

Ap 0 - 25 cm; pardo amarelado escuro (10 YR 3/4 úmido); barro argiloso; composta, prismático, em blocos, média; friável, plástico, pegajoso; raízes abundantes; macroporos não muito evidentes.

A<sub>3g</sub> 25 - 52,5 cm; cinza (5 Y 6/1 úmido); marchetamento pardo escuro (7,5 YR 4/4); argiloso; composta, pequeno a médio, moderado; friável, muito plástico, muito pegajoso; raízes comuns; macroporos mais evidentes que Ap.

B<sub>2g</sub> 52,5 - 85 cm; cinza (10 YR 5/1); marchetamento vermelho ferrugem forte (2,5 YR 2/2); argiloso; composto, prismático, em blocos; friável, muito plástico, muito pegajoso; raízes ausentes; macroporos / mais evidentes que Ap.

B<sub>3g</sub> 85 - 130 cm; cinza (10 YR 6/1); marchetamento vermelho ferrugem forte (2,5 YR 2/2).

C<sub>1g</sub> 130 - 180 cm; cinza (2,5 YR 6/0); marchetamento vermelho ferrugem forte (2,5 YR 2/2).

IIC<sub>2g</sub> 180 - 205 cm; amarelo avermelhado (7,5 YR 6/6); marchetamento acinzentado (7,5 YR N/6); fragmentos de material semelhante a quartzo, esparsos, dando a impressão de uma linha de pedras.

IIC<sub>3g</sub> 205 - 255 cm; branco (2,5 YR 8/0); marchetamento amarelo em grande quantidade (10 YR 8/8).

IIC<sub>4g</sub> 255 - 310 cm; amarelo pardacento (10 YR 6/6); aparecimento de marchetamento acinzentado (7,5 YR N/6) e marron, no interior do torrão (7,5 YR 5/2).

IIC<sub>5g</sub> 310 - 330 cm; oliva claro (5 Y 6/2); pouco marchetamento amarelado (5 Y 8/6), iniciando o aparecimento de folhelho de cor parda (7,5 YR 5/2).

IIR 330 + cm; rocha sedimentar, folhelho, originária de cor cinza claro (2,5 Y N/7) e parda (7,5 YR 5/2).

### Perfil 3

Este perfil de solo foi descrito e classificado por MEDEIROS (35) como pertencente ao grande grupo Latossol Vermelho Escuro, ordem Ultissol.

Ap 0 - 20 cm; pardo avermelhado escuro (2,5 YR 3/4); barro arenoso; granular, pequena a média, fraca; ligeiramente duro, friável, plástico, pegajoso; raízes bastante; limite ondulado, claro.

- A<sub>3</sub> 20 - 40 cm; vermelho escuro (10 R 3/6); barro argiloso; blocos sub-angulares, muito pequena, moderada; duro, friável, plástico, muito pegajoso; raízes comuns; poros muito pequenos comuns e pequenos poucos; limite plano, gradual.
- B<sub>21t</sub> 40 - 75 cm; vermelho escuro (10 R 3/6); barro argiloso; blocos angulares e sub-angulares, pequena, moderada; cerosidade revestindo 10%; duro friável, muito plástico, muito pegajoso, raízes comuns; muitos poros muito pequenos, raros médios; limite plano, gradual.
- B<sub>22t</sub> 75 - 140 cm; vermelho escuro (10 R 3/6); barro argiloso; blocos angulares e sub-angulares, pequena, fraca a moderada; cerosidade abundante; ligeiramente duro, friável, plástico, pegajoso; raízes comuns; muitos poros muito pequenos, poucos pequenos; limite gradual, plano.
- B<sub>3</sub> 140 - 190 cm; vermelho (2,5 YR 4/6); barro argiloso; blocos sub-angulares, pequena a fraca; macio, muito friável, ligeiramente plástico, pegajoso; raízes comuns; muitos poros muito pequenos.
- II<sup>C</sup><sub>1</sub> 190 - 260 cm; vermelho (2,5 YR 4/6); fragmentos de rocha básica.
- II<sup>C</sup><sub>2</sub> 260 - 300 cm; vermelho escuro (2,5 YR 3/6); fragmentos de rocha básica.

IIC<sub>3</sub> 300 - 360 cm; vermelho escuro (2,5 YR 3/6); fragmentos de rocha básica.

IIC<sub>4</sub> 360 - 380 cm; vermelho escuro (2,5 YR 3/6); grande quantidade de rocha básica / misturada com grânulos de quartzo dando a impressão de uma linha de pedras.

Perfil 4

Este perfil de solo foi descrito e classificado por MEDEIROS (35) como pertencente ao grande grupo Podzólico Vermelho Amarelo - variação Piracicaba (PVA - variação Piracicaba).

Ap 0 - 20 cm; vermelho ferrugem (10 R 3/4); barro argiloso; blocos sub-angulares, pequena a média, fraca; ligeiramente duro, friável, muito plástico, muito pegajoso; raízes bastante; limite ondulado, claro.

B<sub>21t</sub> 20 - 60 cm; vermelho escuro (10 R 3/6); barro argiloso; blocos angulares e sub-angulares, muito pequena, moderada, cerosidade abundante; ligeiramente duro, friável, muito plástico, muito pegajoso; agregados pequenos a médios, 30%; raízes comuns; poucos poros pequenos e muitos poros muito pequenos; limite plano, gradual.

B<sub>22t</sub> 60 - 90 cm; vermelho (10 R 4/6); barro argiloso; blocos sub-angulares, muito pequena, moderada; cerosidade comum; ligeiramente duro, friável, plástico, pegajoso; raízes comuns; poucos po-

ros pequenos e muitos poros muito pequenos; limite plano, difuso.

B<sub>23t</sub> 90 - 170 cm; vermelho (10 R 4/6); barro argilos; blocos sub-angulares, muito pequena, fraca a moderada; cerosidade pouca; macio, friável, plástico, pegajoso; raízes comuns, poucos poros pequenos e muitos poros muito pequenos; limite plano, difuso.

B<sub>31</sub> 170 - 240 cm; vermelho (10 R 4/6); barro argilos; blocos sub-angulares, muito pequena, fraca a moderada; macio, muito friável, ligeiramente plástico, pegajoso; raízes comuns; poucos poros pequenos e muitos poros muito pequenos.

B<sub>32</sub> 240 - 315 cm; vermelho fraco (10 R 4/4).

II<sup>C</sup><sub>1</sub> 315 - 360 cm; vermelho (10 R 4/6); fragmentos de rocha pardo amarelado (10 YR 5/6) e branco (2,5 Y 8/2).

II<sup>C</sup><sub>2</sub> 360 - 400 cm; vermelho fraco (10 R 4/4); fragmentos de rocha vermelho (10 R 5/6) e branco (2,5 YR 8/2).

### 3.1.2 - Peneiras.

A separação da fração areia fina, cujo estudo da caracterização e contagem das espécies minerais constitue a essência do presente trabalho, foi feita usando-se peneiras / nº 140, US Standard, com malhas de 105 u.

Para a análise mecânica da fração areia total , foi usado um jogo de peneiras US Standard, com peneiras do nº 18, 35, 60, 140 e 270, de malhas 1000 u, 500 u, 250 u, 105 u e 53 u, respectivamente.

### 3.1.3 - Instrumental Óptico.

Na caracterização óptica dos minerais, foi utilizado um microscópio E. Leitz, com aumentos de 34 x, 80 x e / 360 x. O aumento empregado na contagem dos grânulos foi o intermediário, isto é, de 80 x. O aumento de 360 x sómente foi utilizado nos testes de luz convergente.

Sempre que se fêz necessário, foi utilizado, na caracterização das espécies minerais, o compensador de Berek, para a determinação da elongação e birrefringência.

## 3.2 - Método

### 3.2.1 - Amostragem.

Os perfis de solos aqui estudados, P<sub>1</sub> e P<sub>2</sub>, foram coletados e descritos por SOUZA\* e ANDRADE\*\*, respectivamente, e, os perfis de solos, P<sub>3</sub> e P<sub>4</sub>, foram coletados e descritos por MEDEIROS (35). As amostragens e descrições morfológicas foram feitas tendo como base, principalmente, as recomendações de RANZANI (43), com algumas modificações.

O trado foi utilizado para coleta de amostras dos horizontes com profundidades maiores de 2 metros. As amostras foram secadas ao ar, passadas em peneiras de 2 mm de malha e, a seguir, catalogadas e guardadas em recipientes apropriados.

---

(\*) - SOUZA, J.J. - Gênese e Classificação de alguns solos do município de Iracemápolis - em andamento.

(\*\*) - ANDRADE, S.S. - Gênese e Classificação de solos associados com Hidromórfico - em andamento.

### 3.2.2 - Preparo da amostra.

Para o preparo da amostra foram utilizados 30 / gramas de TFSA de cada horizonte dos perfis de solos P<sub>1</sub> e P<sub>2</sub> e 50 gramas para os perfis dos solos P<sub>3</sub> e P<sub>4</sub>.

#### 3.2.2.1 - Remoção dos sais solúveis e cátions divalentes trocáveis.

Uma amostra de cada horizonte foi colocada em / "beaker" de 1000 ml e a ela foram adicionados 300 ml de solução tampão de NaOAc N (82 gramas de NaOAc e 27 ml de HOAc glacial por litro) sendo, esta suspensão, aquecida durante 30 minutos em banho-maria, segundo método citado por JACKSON (26). Após 24 horas, o sobrenadante foi sifonado e a operação repetida.

#### 3.2.2.2 - Decomposição da matéria orgânica e dissolução do MnO<sub>2</sub> por tratamento com H<sub>2</sub>O<sub>2</sub>.

Para decomposição da matéria orgânica e dissolução do MnO<sub>2</sub>, foi utilizado o método descrito por JACKSON (26).

A amostra do solo, livre dos sais solúveis, cátions divalentes trocáveis, e, apresentando reação ácida, foram adicionados 5 ml de água oxigenada (H<sub>2</sub>O<sub>2</sub>) a 30%, sendo a mistura agitada e vigiada atentamente por cerca de 5 a 10 minutos a fim de se evitar o transbordamento da amostra, e, em seguida, o "beaker" foi colocado em banho-maria à temperatura de 65-75°C.

Após a reação com os primeiros 5 ml de água oxigenada ter-se abrandado, as paredes do "beaker" foram lavadas com uma segunda porção de 5 ml de água oxigenada, observando-se as mesmas precauções que para o primeiro tratamento, e o "beaker" foi novamente colocado em banho-maria durante 20 minutos. Decorrido este tempo foi adicionado 10 ml de água oxi-

genada a 30%, tampando-se o "beaker" com um vidro de relógio. A suspensão foi colocada em banho-maria e aquecida por 2 a 4 horas no "beaker" coberto. Passado este tempo, o vidro de relógio foi retirado e a amostra evaporada até uma pasta rala, tendo-se o máximo cuidado para evitar o secamento da referida pasta. A operação foi repetida para as amostras que, após o tratamento acima, ainda apresentaram reação de oxidação, obedecendo-se aos mesmos princípios da operação acima referida.

Concluída a eliminação da matéria orgânica e dissolução do MnO<sub>2</sub>, a amostra foi lavada 3 vezes com uma solução de acetato de sódio N, de pH 5,0.

### 3.2.2.3 - Remoção dos óxidos de ferro livres.

O método utilizado para a remoção dos óxidos de ferro livres foi o descrito por AGUILERA e JACKSON (1) e posteriormente por MEHRA e JACKSON (36).

Este método consiste no emprego do ditionito-citrato-bicarbonato de sódio, sendo o ditionito de sódio (Na<sub>2</sub>-S<sub>2</sub>O<sub>4</sub>) empregado como redutor, o bicarbonato de sódio (NaHCO<sub>3</sub>) como tampão e o citrato de sódio tribásico (Na<sub>3</sub>C<sub>6</sub>H<sub>5</sub>O<sub>7</sub>.2H<sub>2</sub>O) como agente quelante ou complexante para ferro ferroso e ferro férlico.

A amostra do solo, livre de sais solúveis, cátions divalentes trocáveis, matéria orgânica e MnO<sub>2</sub> livre, foram adicionados 40 ml de citrato de sódio 0,3 M (88 gramas de citrato de sódio tribásico - Na<sub>3</sub>C<sub>6</sub>H<sub>5</sub>O<sub>7</sub>.2H<sub>2</sub>O - por litro e 5 ml de bicarbonato de sódio M (84 gramas de NaHCO<sub>3</sub> por litro), aquecendo-se em banho-maria até que, por controle de temperatura - medida na amostra -, constatou-se que a amostra atingiu a faixa de 75-80°C. Neste ponto, foi adicionado um grama de ditionito (Na<sub>2</sub>S<sub>2</sub>O<sub>4</sub>), agitando-se a amostra constantemente por um período de 5 minutos. Após esse tempo a amostra foi agitada, intermitentemente, durante 10 minutos.

Em continuidade, a amostra foi esfriada e, em se-

guida, adicionado 600 ml de cloreto de sódio N para promover a floculação. Decorridas 24 horas, o sobrenadante foi sifonado e, à amostra, novamente foi adicionado cloreto de sódio, até que o sobrenadante permaneceu incolor.

O tratamento com ditionito-citrato-bicarbonato / de sódio foi repetido tantas vezes quantas se fizeram necessárias, a fim de que a amostra não apresentasse indícios da presença de óxidos de ferro, constatada pela coloração do sobrenadante, dando-se, pois, a sua completa eliminação.

### 3.2.2.4 - Dispersão e separação da areia.

Concluídas as operações de remoção de sais solúveis, cátions divalentes trocáveis, decomposição da matéria / orgânica, dissolução do MnO<sub>2</sub> e remoção dos óxidos de ferro livres, procederam-se à dispersão e separação da areia, operação esta que foi levada a efeito de acordo com o processo descrito por JACKSON (26).

A amostra contida no "beaker" foi adicionado 300 ml de água destilada e, em seguida, a mistura foi elevada a / pH 9,0, ou em torno deste, com a adição de 5 ml, aproximadamente, de carbonato de sódio a 2% (CO<sub>3</sub>Na<sub>2</sub>). A seguir, procedeu-se a uma agitação mecânica durante 10 minutos. A areia / total, isto é, partículas maiores que 50 u, foi separada por tamizamento. Um tamis de 0,05 mm de malha, acoplado em um funil, foi instalado em um suporte de modo que o material de / diâmetro menor que 50 u fosse coletado em uma proveta graduada de 1000 ml. Assim a areia total ficou retida no tamis, passando as frações limo e argila que foram recolhidas na proveta graduada.

### 3.2.3 - Análise mecânica da areia total.

A areia total retida no tamis de 0,05 mm de malha é isenta de sais solúveis, cátions divalentes trocáveis,

matéria orgânica,  $MnO_2$  e óxidos de ferro livres, foi recolhida em um cadinho de porcelana e colocada em estufa para secar, após o que foi pesada e, com o auxílio do jôgo de peneiras descrito no ítem 3.1.2, procedeu-se a uma agitação mecânica com o fim de separar a areia total em suas cinco frações, a saber: areia muito grossa, areia grossa, areia média, areia fina e areia muito fina.

Após a separação, constatou-se que a "moda" correspondia à fração areia fina, fração esta escolhida para a separação dos minerais pesados e leves, caracterização e contagem das espécies minerais.

A escolha da "moda" para a caracterização e contagem das espécies minerais foi baseada na afirmação de BRAJNIKOV (9) que, estudando grânulos com diâmetros entre 30 e 500  $\mu$ , concluiu que o melhor intervalo, para caracterização de espécies minerais em sedimentos, está situado entre 50 e 250  $\mu$ , podendo ir até 350  $\mu$ .

### 3.2.4 - Separação das frações leve e pesada.

KRUMBEIN e PETTILJOHN (31), TWENHOFEL e TYLER(55) e outros, sugerem, para a separação dos minerais leves e pesados, o uso de Bromofórmio, de densidade 2,85, em funis separadores de pescoço longo. Entretanto, o uso de funis separadores de pescoço longo apresentou vários inconvenientes na prática, mormente quanto à perda de material que ficava retido nas paredes da válvula. Por este motivo foi usada a mesma sugestão acima diminuindo o comprimento do pescoço do funil, usando-se funis comuns de superfície interna lisa e optando-se por uma válvula composta de um tubo de borracha e uma presilha, como ilustra a figura 2.

O método é o seguinte: coloca-se bromofórmio no funil superior e, cuidadosamente, a fim de não formar correntes de convecção, coloca-se a fração areia que se deseja sepa-

rar, no caso, a fração areia fina. Os minerais pesados, de densidade superior à do bromofórmio (2,85), precipitam-se e se acumulam no tubo de borracha, cuja extremidade acha-se presa pela presilha. Os minerais leves, de densidade inferior à 2,85, ficam sobrenadando no bromofórmio. Decorrido 20 minutos, durante o qual, em tempo intercalado, são dadas pequenas batidas no funil superior, abre-se a presilha com bastante cuidado e deixa-se cair no papel de filtro do funil inferior, os minerais pesados que se acumularam no tubo de borracha. Os minerais recolhidos no papel de filtro do funil inferior sofrem uma lavagem com acetona ou benzeno, após o que é coletado e guardado em recipientes apropriados. A fração restante, ou seja, o material retido ainda no funil superior, é recolhido também em papel de filtro e repete-se a operação. Separado os minerais leves e pesados, ambos são lavados com acetona ou benzeno.

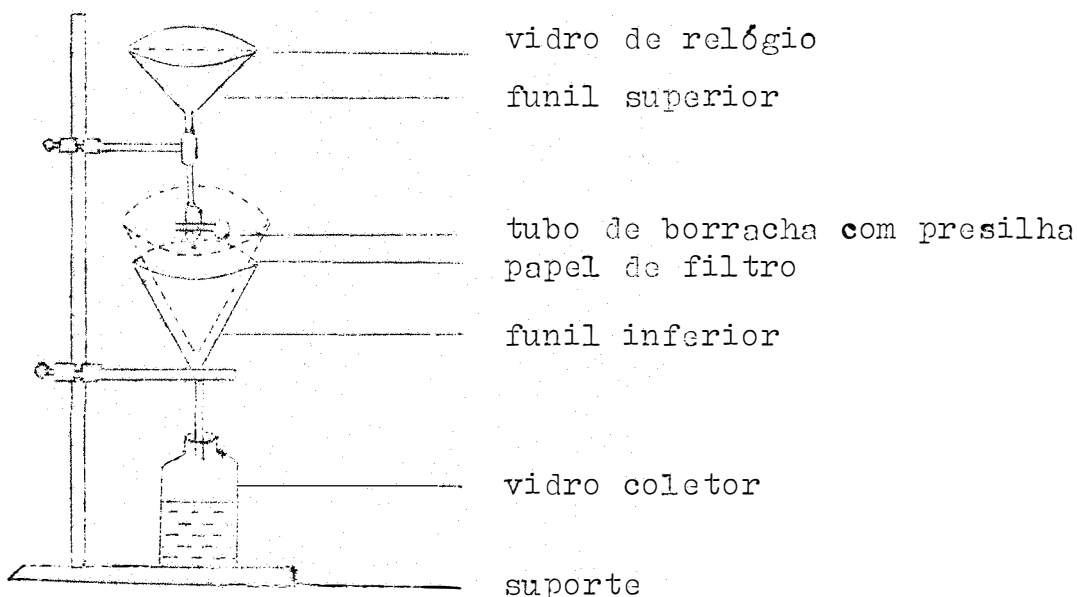


Figura 2 - Montagem utilizada para separação dos minerais leves e pesados.

3.2.5 - Montagem das lâminas para análise microscópica.

Para o estudo microscópico foram montadas lâminas de minerais leves e pesados de todos os horizontes dos perfis de solos citados (P<sub>1</sub>, P<sub>2</sub>, P<sub>3</sub> e P<sub>4</sub>). As lâminas foram montadas com bálsamo do Canadá, natural, de índice de refração 1,54. O método de montagem é o que se segue: lava-se a lâmina e a lamínula com álcool ou acetona deixando-as bem limpas. Molha-se a lâmina com um pouco de água, sem deixar gôta, e, em seguida, coloca-se uma certa concentração da amostra. Deve-se tomar o cuidado a fim de que a concentração da amostra não seja grande e nem pequena para que não venha a dificultar a análise mineralógica. A lâmina é levada para uma placa aquecedora, aguarda-se alguns instantes a fim de que a água se evapore, ficando os grânulos aderidos à superfície da lâmina. Coloca-se um pouco de bálsamo do Canadá e espera-se que o mesmo atinja seu ponto de cosimento, ponto este determinado quando o bálsamo não indica mais ligamento na unha. Retira-se a lâmina da placa aquecedora e deixa-se esfriar um pouco colocando-se, em seguida, a lamínula um pouco inclinada. Leva-se todo o conjunto à placa aquecedora e deixa-se a lamínula cair vagarosamente, tomando-se o cuidado necessário para evitar a formação de bôlhas de ar. Retira-se o excesso de bálsamo com xilol (31).

3.2.6 - Contagem dos grânulos e identificação das espécies minerais.

KRUMBEIN e PETTIJOHN (31) recomendam a contagem de 300 grânulos como suficiente para uma boa amostragem.

PARFENOVA e YARILOVA (41) recomendam a contagem de 400 a 500 grânulos quando os minerais são separados

em duas frações apenas, leves e pesados, e, de 200 grânulos quando são separados em cinco a sete frações.

Grahan (KRUMBEIN and PETTIJOHN, 31 ), considera suficiente a contagem de apenas 100 grânulos, enquanto WEYL (57) recomenda a contagem de 200 grânulos no mínimo.

BREWER (8) afirma que: "quanto menor a quantidade do mineral que se deseja contar, maior deve ser o número / de grânulos contados". Baseado nesta informação, no presente trabalho foram contados 300 grânulos de minerais por lâmina / quando a quantidade de minerais era grande e de 400 a 600 grâ nulos quando a quantidade era pequena.

A identificação das espécies minerais foi feita com o uso do microscópio polarizante, usando-se as técnicas / descritas por DANA-HURLBUT (15), WAHLSTROM (56) e RODRIGUES DA SILVA (44), e, as características das espécies minerais en contradas no presente trabalho foram comparadas com as descri ções de KRUMBEIN e PETTIJOHN (31) e MILNER (40).

#### 4 - RESULTADOS E DISCUSSÃO

Este capítulo foi dividido em dois ítems. O primeiro diz respeito à análise mecânica da areia total e o segundo diz respeito à análise mineralógica da fração areia fina, minerais leves e pesados, correspondentes aos perfis P<sub>1</sub>, P<sub>2</sub>, P<sub>3</sub> e P<sub>4</sub>.

##### 4.1 - Análise mecânica da areia total

Os resultados da análise mecânica da areia total estão apresentados, em porcentagem, nos Quadros 1, 2, 3 e 4, referentes aos perfis P<sub>1</sub>, P<sub>2</sub>, P<sub>3</sub> e P<sub>4</sub>, respectivamente. Observa-se que em todos os perfis acima mencionados a fração areia dominante, ou a "moda", é representada pela fração areia fina, e que o componente de maior quantidade, logo após a "moda", - corresponde à fração areia muito fina.

Analizando acuradamente as frações areia muito grossa, grossa, média, fina e muito fina do perfil P<sub>1</sub> (Quadro 1), pode-se constatar que a distribuição do tamanho das partículas é praticamente constante, de acordo com a profundidade.

A distribuição na rocha sofre um pequeno aumento nas frações areia muito grossa, grossa e média, e uma diminuição pouco acentuada na "moda" e muito acentuada na fração areia muito fina. Os valores mínimo e máximo nestas frações são: areia muito grossa 0,3% (horizonte B<sub>23</sub>) e 3,3% (rocha); areia grossa 5,4% (horizonte II C<sub>3</sub>) e 11,4% (rocha); areia média 16,1% (horizonte C<sub>1</sub>) e 25,5% (rocha); areia fina, ou "moda", 41,0% (rocha) e 47,1% (horizonte C<sub>1</sub>) e na fração areia muito fina 18,8% (rocha) e 33,4% (horizonte B<sub>21</sub>). Observa-se pequenas variações na distribuição do tamanho das partículas nos horizontes intermediários.

QUADRO 1 - Resultados da análise mecânica da Areia Total do perfil P1

Horizontes	Profundidade (cm)	Resultados em porcentagem*			
		Ang	Ag	Am	Af
Ap	0 - 10	0,7	7,8	22,3	42,0
B1	10 - 55	0,4	5,9	20,3	44,1
B21	55 - 100	0,4	5,8	17,5	42,9
B22 superior	100 - 170	0,7	7,1	21,8	43,0
B22 inferior	170 - 220	0,4	7,5	18,9	42,2
B23	220 - 277	0,3	6,7	19,1	42,3
C1	277 - 333	1,1	8,2	16,1	47,1
III C2	333 - 373	0,9	9,1	21,6	44,6
III C3	373 - 401	1,0	5,4	17,9	46,5
III C3 (trado)	401 - 447	1,0	7,9	18,4	43,3
R	447 - 467 +	3,3	11,4	25,5	41,0
					18,8

(\*) - Ang = areia muito grossa; Ag = areia grossa; Am = areia média;  
 Af = areia fina; Amf = areia muito fina.

De modo semelhante ao perfil P<sub>1</sub>, comporta-se o perfil P<sub>3</sub> (Quadro 3), isto é, em todas as frações da areia total há praticamente uma distribuição uniforme do tamanho das partículas, de acordo com a profundidade.

No horizonte IIC<sub>4</sub>, há um pequeno aumento na porcentagem das frações areia muito grossa, grossa e muito fina, e uma diminuição de pouca monta nas frações areia média e fina. Observa-se, no entanto, um grande decréscimo no teor de areia média no horizonte A<sub>3</sub> e, nas demais frações, pequenas variações na distribuição do tamanho das partículas nos horizontes intermediários. Os valores extremos das frações da areia total do perfil P<sub>3</sub> são os seguintes: areia muito grossa 0,2% (horizonte IIC<sub>2</sub>) e 3,4% (horizonte IIC<sub>4</sub>); areia grossa 1,1% (horizonte B<sub>3</sub>) e 4,7% (horizonte IIC<sub>4</sub>); areia média 17,0% (horizonte IIC<sub>4</sub>) e 27,2% (horizonte Ap); areia fina, ou "moda", 45,0% (horizonte IIC<sub>4</sub>) e 52,7% (horizonte IIC<sub>2</sub>) e finalmente na fração areia muito fina 22,3% (horizonte Ap) e 31,3% (horizonte B<sub>2lt</sub>).

Pelos resultados obtidos na análise mecânica da areia total dos perfis P<sub>1</sub> (Quadro 1) e P<sub>3</sub> (Quadro 3), verifica-se que não é possível evidenciar nenhuma descontinuidade lítogica. Pelo contrário, seus valores só podem ser considerados como normais devido à uniformidade da distribuição do tamanho das partículas, em função da profundidade do perfil (SOIL SURVEY STAFF, 52 ).

No perfil P<sub>2</sub> (Quadro 2), observa-se uma grande variação na distribuição do tamanho das partículas em todas as frações da areia, de acordo com a profundidade. Assim é que, há um grande acréscimo na porcentagem de areia muito grossa e grossa no horizonte A<sub>3g</sub> e um decréscimo acentuado de areia média nos horizontes A<sub>3g</sub> e IIC<sub>3g</sub>. Na fração representativa a porcentagem cai consideravelmente nos horizontes A<sub>3g</sub> e C<sub>2g</sub>, ocorrendo um grande aumento da porcentagem no horizonte IIC<sub>3g</sub>. Na fração areia muito fina, verifica-se um acréscimo

QUADRO 2 - Resultado da análise mecânica da Areia Total do perfil P2

Horizontes	Profundidade (cm)	Resultados em porcentagem*				
		Ang	Ag	Am	Af	Amf
Ap	0 - 25	0,9	5,3	24,8	47,3	21,7
	25 - 52,5	9,9	14,2	17,1	36,0	22,8
A3g	52,5 - 85	2,3	6,0	10,8	43,7	29,2
B2g	85 - 130	1,0	4,0	14,0	42,9	38,1
B3g	130 - 180	0,3	4,4	17,5	46,6	31,2
C1g	180 - 205	1,8	4,6	15,5	39,8	38,2
C2g	205 - 255	2,3	5,0	9,4	59,3	24,0
II C3g	255 - 310	5,5	5,6	6,4	62,5	20,7
II C4g	310 - 330	6,9	7,0	9,0	53,8	24,2
II R	330 +	6,4	6,6	6,8	45,1	35,1

(\*) - Ang = areia muito grossa; Ag = areia grossa; Am = areia média  
 Af = areia fina; Amf = areia muito fina.

QUADRO 3 - Resultados da análise mecânica da Areia Total do perfil P3

Horizontes	Profundidade (cm)	Resultados em porcentagem*			
		Ang	Ag	Am	Amf
Ap	0 - 20	0,6	3,0	27,2	46,9
A3	20 - 40	0,6	1,9	19,8	49,0
B21t	40 - 75	0,5	1,8	20,6	45,8
B22t	75 - 140	0,4	1,4	20,0	49,1
B3	140 - 190	0,6	1,1	13,1	51,6
IIC1	190 - 260	0,9	2,0	19,1	49,8
IIC2	260 - 300	0,2	1,6	17,6	52,7
IIC3	300 - 360	1,2	2,2	17,9	51,7
IIC4	360 - 330	3,4	4,7	17,0	45,0
					29,9

(\*) - Ang = areia muito grossa; Ag = areia grossa; Am = areia média

Amf = areia fina; Amf = areia muito fina.

bastante significativo no horizonte  $B_3g$  e um decréscimo acentuado no horizonte  $IIC_{3g}$ .

Na rocha, observa-se um decréscimo significativo na porcentagem da fração representativa, ou "moda", um acréscimo na fração areia muito fina e nas demais frações os teores são praticamente os mesmos dos horizontes imediatamente superiores. Os teores de areia muito grossa estão acima de 0,3% (horizonte  $C_{1g}$ ) e abaixo de 9,9% (horizonte  $A_{3g}$ ); na areia grossa estes valores estão entre 4,0% (horizonte  $B_{3g}$ ) e 14,2% (horizonte  $A_{3g}$ ); os valores extremos da areia média são: 6,4% (horizonte  $IIC_{4g}$ ) e 24,8% (horizonte  $Ap$ ); da fração representativa são: 36,0% (horizonte  $A_{3g}$ ) e 62,5% (horizonte  $IIC_{4g}$ ) e, finalmente, os valores extremos da fração areia muito fina são: 20,0% (horizonte  $IIC_{4g}$ ) e 38,2% (horizonte  $C_{2g}$ ).

A análise granulométrica da areia total do perfil  $P_2$  (Quadro 2), apresenta variações bruscas, variações estas que indicam prováveis descontinuidades litológicas, às profundidades de 25 a 52,5 cm e 205 a 255 cm (SOIL SURVEY STAFF, 52 e FOSS e RUST, 18).

No perfil  $P_4$  (Quadro 4), a distribuição do tamanho das partículas é praticamente uniforme, de acordo com a profundidade, nas frações de areia muito grossa, grossa e média. O mesmo não ocorre com as frações de areia fina e muito fina, pois, em ambas, há uma variação bastante acentuada. Na fração areia fina há um acréscimo de grande monta no horizonte  $B_{2lt}$ , e na fração areia muito fina há um decréscimo considerável neste mesmo horizonte.

No horizonte  $IIC_2$ , há uma diminuição na distribuição do tamanho das partículas nas frações areia muito grossa e muito fina, e um aumento nas frações areia grossa, média e fina. Os valores extremos das frações são os seguintes: areia muito grossa 0,2% (horizonte  $IIC_2$ ) e 0,9% (horizonte  $IIC_1$ ); areia grossa 1,3% (horizontes  $Ap$ ,  $B_{2lt}$ ,  $B_{31}$  e  $B_{32}$ ) e

3,1% (horizonte IIC<sub>2</sub>); areia média 13,8% (horizonte B<sub>32</sub>) e 19,8% (horizonte Ap); areia fina, ou "moda", 46,6% (horizonte IIC<sub>1</sub>) e 70,9% (horizonte B<sub>21t</sub>); finalmente na fração areia muito fina 12,4% (horizonte B<sub>21t</sub>) e 33,4% (horizonte B<sub>32</sub>).

A análise granulométrica do perfil P<sub>4</sub> (Quadro 4), de modo análogo ao perfil P<sub>2</sub>, apresentou variações bruscas nos teores de areia total, principalmente nas frações de areia fina e muito fina, o que evidencia uma provável descontinuidade litológica à profundidade de 20 a 60 cm.

A afirmação de que variações dos teores de areia podem indicar prováveis descontinuidades litológicas pode ser confirmada através dos trabalhos de FOSS e RUST (18) e do SOIL SURVEY STAFF (58). O sistema de classificação de solos, denominado 7ª APROXIMAÇÃO, apresentado em 1960 (53), constata exemplos clássicos de descontinuidade litológica. Assim é, que nos perfis 18, 20 e 24, apenas como exemplo, pode-se constatar descontinuidade litológica observando-se simplesmente a análise granulométrica. No perfil 18, deste trabalho, observa-se uma variação acentuada nos teores de areia. A designação dos horizontes, logo após os 50 cm, é feita de acordo com os símbolos convencionais, isto é, colocando-se o número dois, em algarismo romano, antes da designação do horizonte. Nos de mais perfis, anteriormente citados, a descontinuidade litológica é também caracterizada pelas mudanças bruscas na distribuição dos teores da areia total.

Por outro lado, muitos solos descritos e classificados como sendo originados do substrato rochoso atual, nada mais são do que solos transportados e remanejados. Assim é que, os perfis de números 61, 62 e 73 (COMISSÃO DE SOLOS, 13), apenas como exemplo, são perfis não uniformes, havendo deposições diferentes à diversas profundidades. Observando-se as descrições morfológicas destes solos, pode-se notar que as designações dos horizontes não são acompanhadas pelos sín-

QUADRO 4 - Resultados da análise mecânica da Areia Total do perfil P4

Horizontes	Profundidade (cm)	Resultados em porcentagem*				
		Amg	Ag	Am	Af	Amf
Ap	0 - 20	0,3	1,3	19,8	53,4	25,2
B21t	20 - 60	0,3	1,3	15,1	70,9	12,4
B22t	60 - 90	0,8	1,8	19,4	55,4	22,6
B23t	90 - 170	0,8	2,4	18,2	55,8	22,8
B31	170 - 240	0,3	1,3	15,0	53,5	29,9
B32	240 - 315	0,3	1,3	13,8	51,2	33,4
III C <sub>1</sub>	315 - 360	0,9	2,6	14,0	49,6	32,9
III C <sub>2</sub>	360 - 490	0,2	3,1	16,9	54,5	25,3

(\*) - Amg = areia muito grossa; Ag = areia grossa; Am = areia média  
 Af = areia fina; Amf = areia muito fina.

bolos convencionais de descontinuidade litológica.

Este fato também pode ser constatado em trabalhos mais pormenorizados de levantamento de solos. Assim é que, na "Carta de Solos do Município de Piracicaba" (RANZANI et al, 43 ), os autores não constataram, pela descrição morfológica, o indício de descontinuidade litológica, patente em muitos perfis descritos pelos mesmos. Apenas como exemplo, pode-se verificar pela análise granulométrica da Série Formigueiro (perfil 71) que existe descontinuidade litológica evidente na profundidade de 70 a 120 cm, apesar dos autores não terem chamado a atenção para tal fato.

Através dos resultados da análise mecânica da fração areia total pode-se constatar, no presente trabalho, em primeiro lugar, uma uniformidade granulométrica nos perfis P<sub>1</sub> e P<sub>3</sub> e, em segundo lugar, prováveis descontinuidades litológicas nos perfis P<sub>2</sub> e P<sub>4</sub>. Este fato, entretanto, deve ser interpretado com muito cuidado, pois, quando se trata de solos que sofreram podzolização intensa e severa, normalmente há diferença nos teores de uma das frações areia, de acordo com a profundidade do solo.

#### 4.2 - Análise mineralógica da fração areia fina.

Os resultados mineralógicos da zirconita, turmalina, estaurolita e da relação zirconita/turmalina dos perfis estudados, estão apresentados nos quadros 5, 6, 7 e 8.

No perfil P<sub>1</sub>, há predominância de minerais ópacos (magnetita e ilmenita) e de somente dois outros minérios pesados: zirconita e turmalina. Neste perfil, a zirconita ocorre apenas nos horizontes Ap, B<sub>21</sub> e IIIC<sub>2</sub>. Seus valores extremos são 0,00% (horizonte B<sub>1</sub> e outros) e 0,75% (horizonte Ap, Quadro 5). Na Figura 3, observa-se a inflexão brusca da curva de zirconita à profundidade de 55 cm. Em seguida, bruscamente, a curva cresce, atingindo o máximo aos 100 cm e, ime

QUADRO 5 - Porcentagens de zirconita, turmalina e relação Zi/Tu do Perfil P1

Horizonte	Profundidade (cm)	Resultados em porcentagem		Zi/Tu *
		Zirconita	Turmalina	
Ap	0 - 10	0,75	1,0	0,75
B1	10 - 55	0,00	0,5	0,00
B21	55 - 100	0,40	0,2	2,00
B22 sup.	100 - 170	0,00	0,5	0,00
B22 inf.	170 - 220	0,00	0,4	0,00
B23	220 - 277	0,00	0,5	0,00
C1	277 - 333	0,00	0,5	0,00
II C <sup>2</sup>	333 - 373	0,40	0,2	2,00
II C <sup>3</sup>	373 - 401	0,00	0,2	0,00
II C <sup>3</sup> (trado)	401 - 447	0,00	0,2	0,00
R	447 - 467 +	0,00	0,2	0,00

(\*) Zi/Tu = Zirconita / Turmalina.

diatamente, decresce até a profundidade de 170 cm. A partir deste ponto, a curva torna-se constante até aos 333 cm onde, novamente passa a ser crescente, para sofrer nova inflexão aos 373 cm de profundidade, decrescendo abruptamente até os 401 cm e, continuando, a partir daí até a rocha, sem nenhuma inflexão.

Observa-se que o teor mínimo de zirconita registrado é de 0,00%, porém, este fato não significa que no horizonte, onde este teor mínimo foi registrado, não há ocorrência de zirconita, mas sim, que na quantidade de terra examinada, 30 g, não foi constatada a presença deste mineral. Tal fato deve ser observado e seguido para os demais perfis, nos quais o teor de zirconita é de 0,00%.

O mineral turmalina ocorre em todos os horizontes do perfil P<sub>1</sub>, decrescendo com a profundidade, e mantendo-se constante a partir do horizonte IIC<sub>2</sub>. Seus valores extremos são: 0,2% (horizontes B<sub>21</sub>, C<sub>1</sub>, IIC<sub>2</sub>, IIC<sub>3</sub>, IIC<sub>3</sub> (trado) e R) e 1,0% (horizonte Ap, Quadro 5). A curva de distribuição da porcentagem de turmalina, de acordo com a profundidade do solo (Figura 3), evidencia um decréscimo até os 100 cm, crescendo imediatamente até os 170 cm para, partindo deste ponto, permanecer praticamente constante até a profundidade de 333 cm onde, mais uma vez, a curva sofre um decréscimo até os 373 cm e, partindo daí, permanece constante até a rocha.

A curva correspondente a relação zirconita/turmalina (Figura 4), evidencia uma forte inflexão aos 100 cm, e outra aos 373 cm de profundidade. A relação zirconita/turmalina mínima determinada foi de 0,00 (horizonte B<sub>1</sub>, B<sub>22</sub> sup., B<sub>22</sub> inf., B<sub>23</sub>, C<sub>1</sub>, IIC<sub>3</sub>, IIC<sub>3</sub> (trado) e R) e a máxima de 2,00 (horizontes B<sub>21</sub> e IIC<sub>2</sub>, Quadro 5).

Pode-se verificar, pelas inflexões das curvas da porcentagem de zirconita, turmalina e da relação zirconita/turmalina, que o perfil P<sub>1</sub> não é uniforme. A existência de duas inflexões, nas profundidades de 100 e 373 cm, caracteri-

zam , seguramente, a presença de descontinuidades litológicas a estas profundidades. Estes resultados estão de acordo com os trabalhos de BREWER (8), que estudou arduamente tal assunto.

Por outro lado, pode-se notar que, no ítem 4.1, não foram verificadas mudanças bruscas nos teores da fração areia total do perfil P<sub>1</sub>. Fica, portanto, evidente, que a utilização dos dados da análise mecânica, para constatação da descontinuidade litológica, é restrita. Seus dados devem ser manuseados com cuidado para evitar posteriores erros de interpretação, a não ser que sejam bem evidentes. Mesmo assim, seria aconselhável a utilização dos resultados mineralógicos para uma conclusão segura.

Por sua vez, observando-se a descrição morfológica do perfil P<sub>1</sub> (página 12), nota-se que não há nenhuma evidência da presença de descontinuidade litológica, na profundidade de 100 cm. Deste modo, constata-se que uma descrição / morfológica deve ser complementada, em laboratório, através de análises mineralógicas.

Descontinuidades litológicas normalmente estão associadas com a presença de linha de pedras (RUHE, 45), como é o caso do perfil P<sub>1</sub>, na profundidade de 273 cm.

A designação da sequência de horizontes do perfil P<sub>1</sub>, fica, portanto, alterada, passando a ser: Ap, B<sub>1</sub>, IIB<sub>21</sub>, IIB<sub>22</sub> sup., IIB<sub>22</sub> inf., II<sub>23</sub>, IIC<sub>1</sub>, III<sub>2</sub>, III<sub>3</sub>, III<sub>3</sub> (trado), IIIR.

O perfil P<sub>2</sub> apresenta, além dos minerais opacos (magnetita e ilmenita) em alta porcentagem, os minerais zirconita e turmalina. A zirconita não ocorre nos horizontes superiores. Somente a partir dos 130 cm de profundidade é que foi encontrado zirconita, cuja porcentagem varia até a rocha. Seus valores extremos são: 0,00% (horizontes Ap, A<sub>3g</sub>, B<sub>2g</sub>, e B<sub>3g</sub>) e 1,00% (horizonte II<sub>3g</sub>, Quadro 6). Na Figura 5, po-

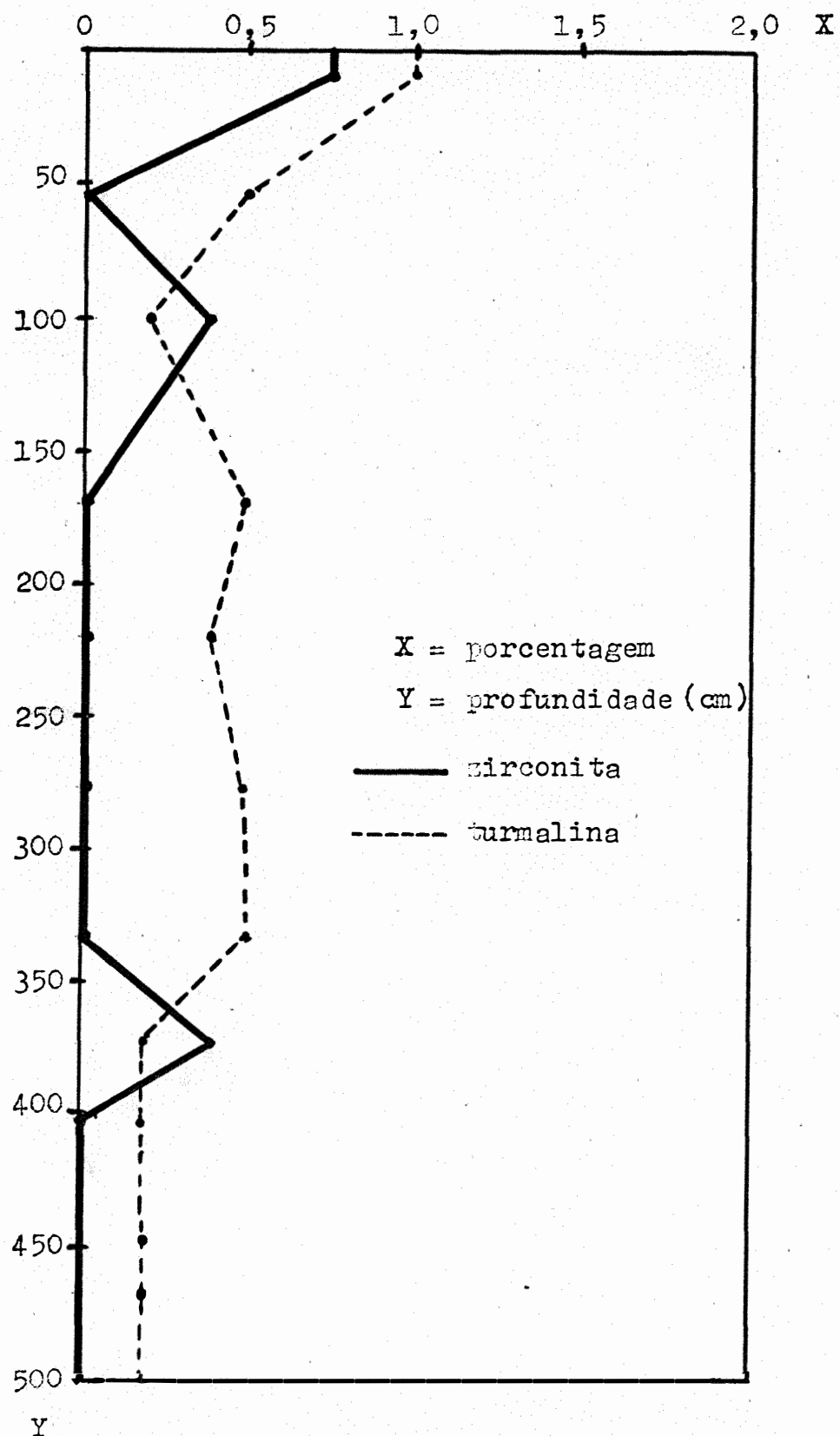


Figura 3 - Distribuição da porcentagem dos minerais Zirconita e Turmalina do perfil de solo Pl, em função da profundidade do solo.

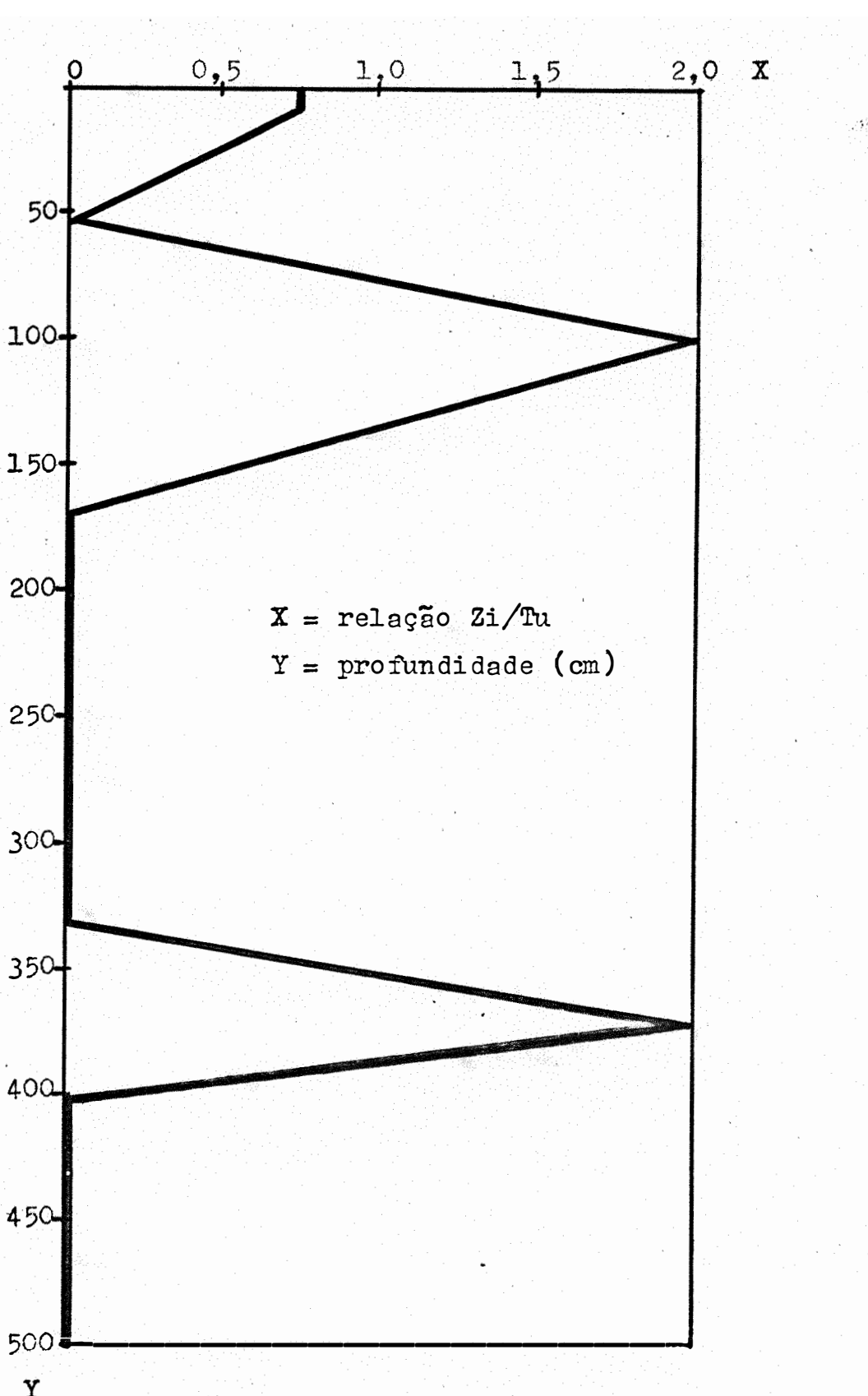


Figura 4 - Distribuição da relação Zirconita/Turmalina do perfil de solo  $P_1$ , em função da profundidade do solo.

de-se notar, nítidamente, a grande variação da porcentagem de zirconita, de acordo com a profundidade do perfil. A curva da porcentagem da zirconita apresenta um acréscimo partindo da profundidade de 130 cm, atingindo um ponto máximo aos 180 cm para, em seguida, sofrer um leve decréscimo aos 205 cm de profundidade. Deste ponto em diante, a curva sofre uma inflexão aos 255 cm para, logo a seguir, cair abruptamente à profundidade de 310 cm. Observa-se uma certa tendência de crescimento da curva até os 330 cm, decrescendo daí até a rocha.

O mineral turmalina foi identificado em todos os horizontes deste perfil. De acordo com a profundidade, nota-se uma grande variação nos teores da turmalina. Seus valores extremos são: 0,3% (horizontes C<sub>2g</sub>, IIC<sub>4g</sub> e IIR) e 1,6% (horizonte IIC<sub>3g</sub>, Quadro 6). Na Figura 5, encontra-se delineada a curva da porcentagem da turmalina deste perfil. Verifica-se a tendência crescente da curva até os 52,5 cm e decrescente aos 85 cm de profundidade. Partindo daí, nota-se um crescimento suave da curva até os 180 cm, decrescendo bruscamente até a profundidade de 205 cm. Segue-se uma inflexão brusca da curva que atinge um máximo aos 255 cm, e um mínimo aos 310 cm de profundidade. Deste ponto até a rocha, a porcentagem de turmalina descreve uma curva idêntica e de valores iguais à de zirconita. Observa-se ainda que, a curva representativa da porcentagem de turmalina, a partir dos 130 cm, descreve inflexões semelhantes à de zirconita, isto é, crescendo e decrescendo quando a curva de zirconita também cresce e decresce, até que, da profundidade de 310 cm até a rocha, as porcentagens de zirconita e turmalina se igualam, e as curvas se confundem em uma só, com as mesmas inflexões.

A curva que corresponde a relação zirconita/turmalina (Figura 6) evidencia três fortes inflexões: a primeira ocorre aos 180 cm, a segunda aos 205 cm e a terceira aos 310 cm de profundidade. A relação zirconita/turmalina mínima

QUADRO 6 - Porcentagens de zirconita, turmalina e relação Zi/Tu do Perfil P2

Horizonte	Profundidade (cm)	Resultados em porcentagem		Zi/Tu *
		Zirconita	Turmalina	
Ap	0 - 25	0,00	0,8	0,00
A3g	25 - 52,5	0,00	1,0	0,00
B2g	52,5 - 85	0,00	0,7	0,00
B3g	85 - 130	0,00	0,8	0,00
C1g	130 - 180	0,40	1,0	0,40
C2g	180 - 205	0,30	0,3	1,00
II C3g	205 - 255	1,00	1,6	0,62
II C4g	255 - 310	0,30	0,3	1,00
II C5g	310 - 330	0,60	0,6	1,00
IR	330 +	0,30	0,3	1,00

(\*) Zi/Tu = Zirconita / Turmalina.

encontrada foi de 0,00 (horizontes Ap, A<sub>3g</sub>, B<sub>2g</sub> e B<sub>3g</sub>) e a máxima de 1,00 (horizontes C<sub>2g</sub>, IIIC<sub>4g</sub>, IIIC<sub>5g</sub> e IIR, Quadro 6).

Pelas curvas representativas das porcentagens de zirconita, turmalina e da relação zirconita/turmalina, pode-se constatar que o perfil P<sub>2</sub> não é uniforme. A ocorrência de inflexões na curva correspondente à relação zirconita/turmalina, nas profundidades de 180, 205 e 310 cm, permite comprovar presença de descontinuidades litológicas (BREWER, 8 ; RUHE, 45 ).

A análise granulométrica do perfil P<sub>2</sub>, ítem 4.1, mostra variações bruscas na distribuição do tamanho das partículas, às profundidades de 25 a 52,5 cm e 205 a 255 cm, o que sugere a ocorrência de descontinuidades litológicas (SOIL SURVEY STAFF, 52 ; FOSS e RUST, 18 ). A análise mineralógica, entretanto, prova a existência de descontinuidades, porém, em profundidades diferentes daquelas evidenciadas pela análise mecânica da areia total, coincidindo apenas em uma, a de 205 cm de profundidade.

Por outro lado, observando-se a descrição morfológica do perfil P<sub>2</sub> (página 14), pode-se constatar que não há nenhuma evidência, nas profundidades de 180 e 310 cm, de descontinuidades, fato que dá maior ênfase à afirmativa de que uma descrição morfológica deve ser complementada em laboratório, por meio de análises especiais. A descrição morfológica do perfil P<sub>2</sub>, menciona apenas uma descontinuidade litológica, tendo em vista a presença de uma linha de pedras observada macroscopicamente (RUHE, 45 ).

A designação da sequência de horizontes do perfil P<sub>2</sub>, fica, portanto, modificada, passando a ser: Ap, A<sub>3g</sub>, B<sub>2g</sub>, B<sub>3g</sub>, IIIC<sub>1g</sub>, IIIC<sub>2g</sub>, IIIC<sub>3g</sub>, IV<sub>C4g</sub>, IV<sub>C5g</sub> e IIR.

O perfil P<sub>3</sub> apresenta, além dos minerais opacos (magnetita e ilmenita), da zirconita e da turmalina, o

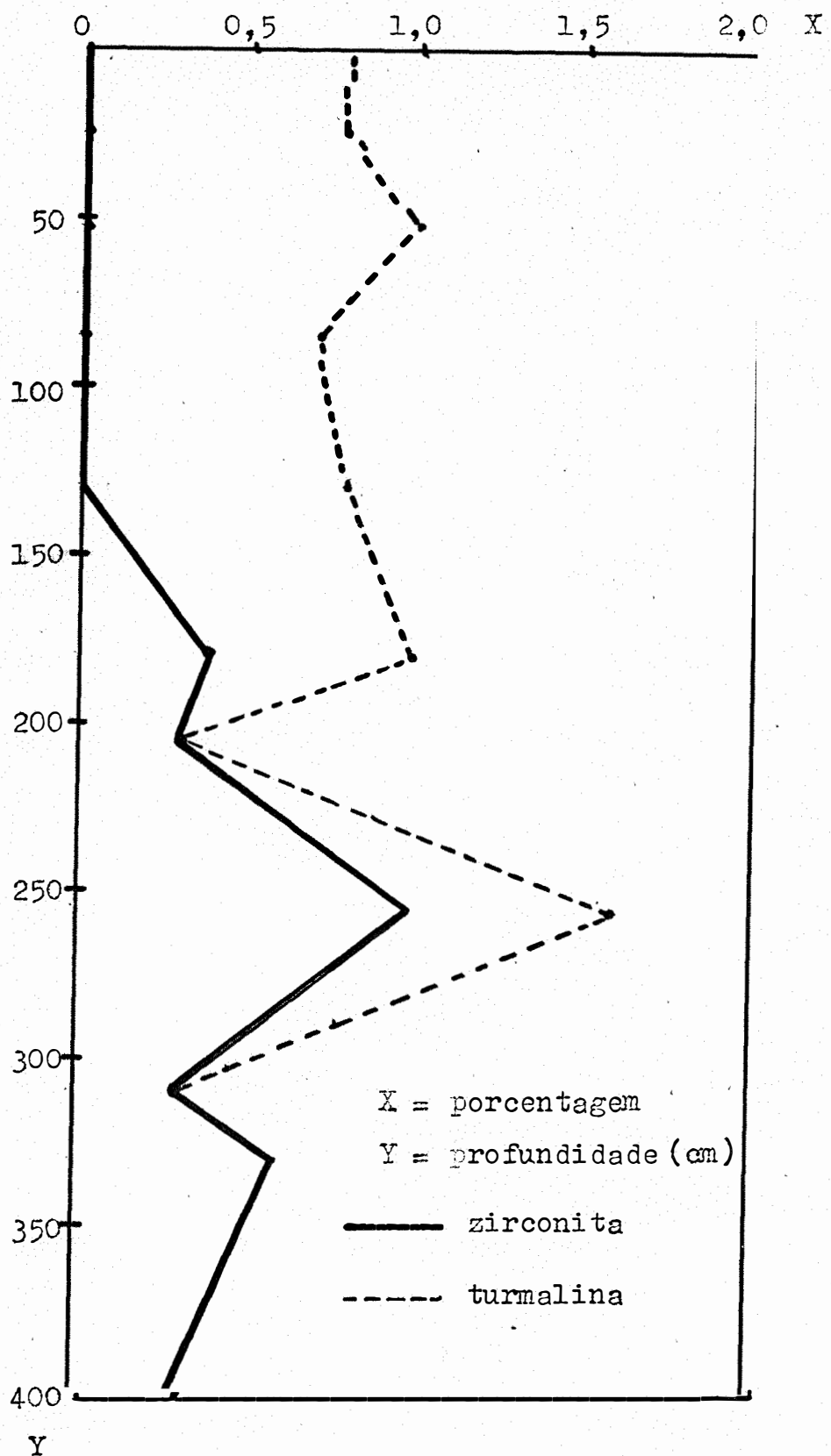


Figura 5 - Distribuição da porcentagem dos minerais Zirconita e Turmalina do perfil de solo P<sub>2</sub>, em função da profundidade do solo.

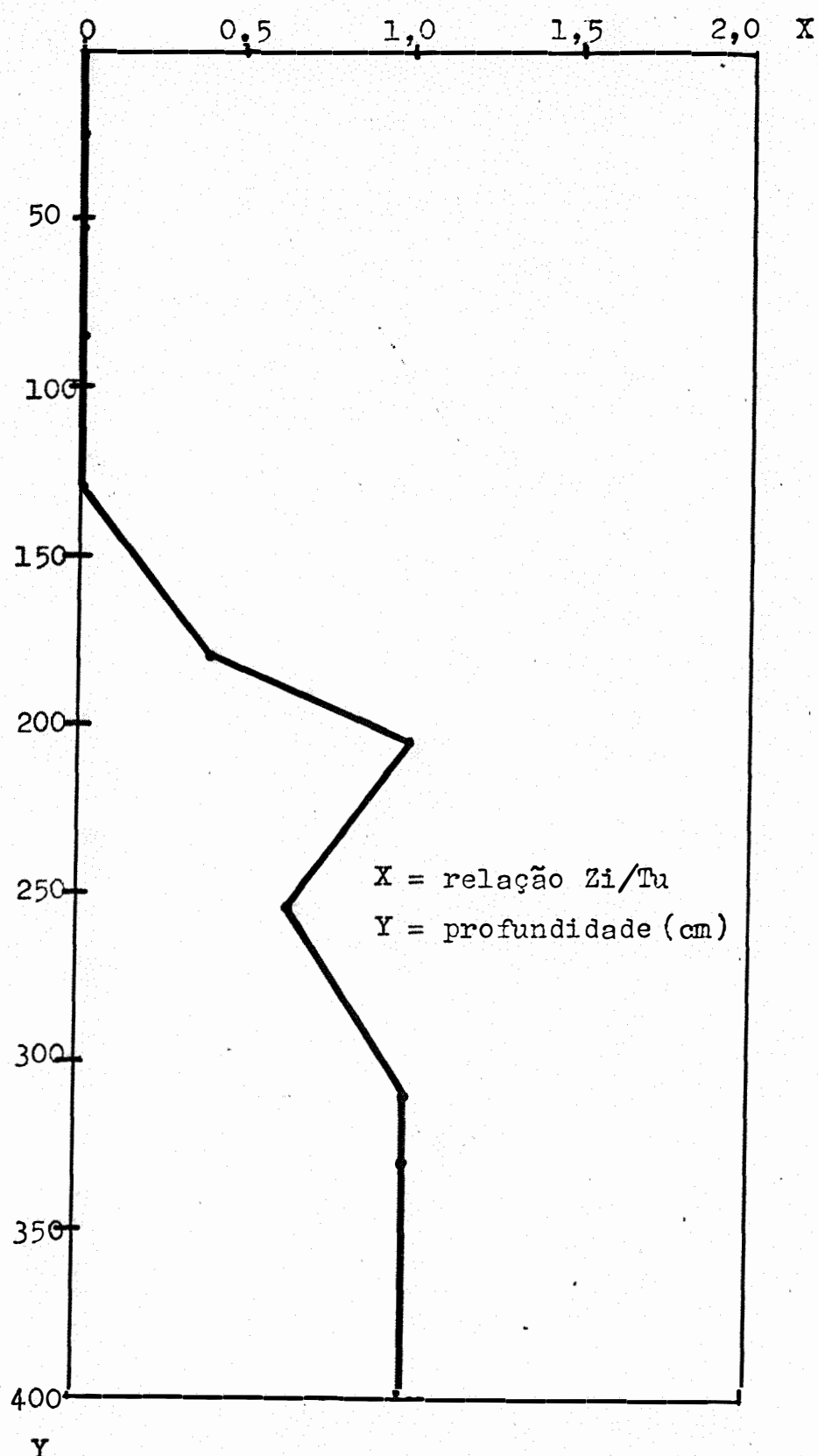


Figura 6 - Distribuição da relação Zirconita/Turmalina do perfil de solo P<sub>2</sub>, em função da profundidade do solo.

mineral estaurolita, em porcentagem significativa. A distribuição da estaurolita é variável com a profundidade, e seus valores mínimo e máximo são, respectivamente, 2,6% (horizonte  $\text{IIC}_4$ ) e 12,0% (horizonte  $A_3$ , Quadro 7). O mineral zirconita tem uma distribuição praticamente decrescente até a profundidade de 300 cm. Seus valores extremos são: 0,3% (horizonte  $\text{IIC}_4$ ) e 5,6% (horizonte  $\text{Ap}$ , Quadro 7). A curva correspondente à porcentagem de zirconita (Figura 7) é decrescente, porém não uniforme, pois apresenta duas inflexões, nas profundidades de 40 e 360 cm. A turmalina têm os seus valores bastante variáveis, de acordo com a profundidade do perfil, tendo os seguintes extremos: 1,3% (horizonte  $\text{IIC}_4$ ) e 7,0% (horizonte  $B_3$ , Quadro 7). A curva correspondente à porcentagem de turmalina (Figura 7) evidencia cinco inflexões, às profundidades de 40, 75, 190, 300 e 360 cm.

A curva representativa da relação zirconita/turmalina (Figura 8) é decrescente até os 260 cm, crescente até os 360 cm e, novamente, decrescente até os 380 cm de profundidade. A relação mínima determinada foi de 0,23 (horizonte  $\text{IIC}_4$ ) e a máxima de 1,21 (horizonte  $\text{Ap}$ , Quadro 7). Esta curva mostra duas fortes inflexões: a primeira delas situa-se aos 75 cm e a segunda, aos 360 cm de profundidade. Fica, assim, provada a presença de duas descontinuidades litológicas a estas profundidades (BREWER, 8).

A segunda destas descontinuidades, ou seja, a de 360 cm, foi evidenciada pela presença de uma linha de pedras nesta profundidade (RUHE, 46). Por sua vez, a primeira descontinuidade, a de 75 cm, só foi possível ser identificada pela análise mineralógica.

Considerando a existência de duas descontinuidades litológicas no perfil  $P_3$ , a designação da sequência de horizontes fica, portanto, modificada, passando a ser:  $\text{Ap}$ ,  $A_3$ ,  $\text{IIB}_{21t}$ ,  $\text{IIB}_{22t}$ ,  $\text{IIB}_3$ ,  $\text{IIC}_1$ ,  $\text{IIC}_2$ ,  $\text{IIIC}_3$ ,  $\text{IIIC}_4$ .

QUADRO 7 - Porcentagens de estaurolita, zirconita, turmalina e relação Zi/Tu do Perfil P3

Horizonte	Profundidade (cm)	Resultados em porcentagem		Zi/Tu *
		Estaurolita	Zirconita	
A <sub>P</sub>	0 - 20	7,6	5,6	1,21
A <sub>J</sub>	20 - 40	12,0	4,6	1,15
B21t	40 - 75	10,0	4,7	0,82
B22t	75 - 140	9,3	3,0	0,60
B <sub>3</sub>	140 - 190	8,6	2,7	0,38
IIC <sub>1</sub>	190 - 260	6,3	1,7	0,32
IIC <sub>2</sub>	260 - 300	4,3	1,0	0,37
IIC <sub>3</sub>	300 - 360	8,0	2,0	0,50
IIC <sub>4</sub>	360 - 380	2,6	0,3	0,23

(\*) Zi/Tu = Zirconita / Turmalina.

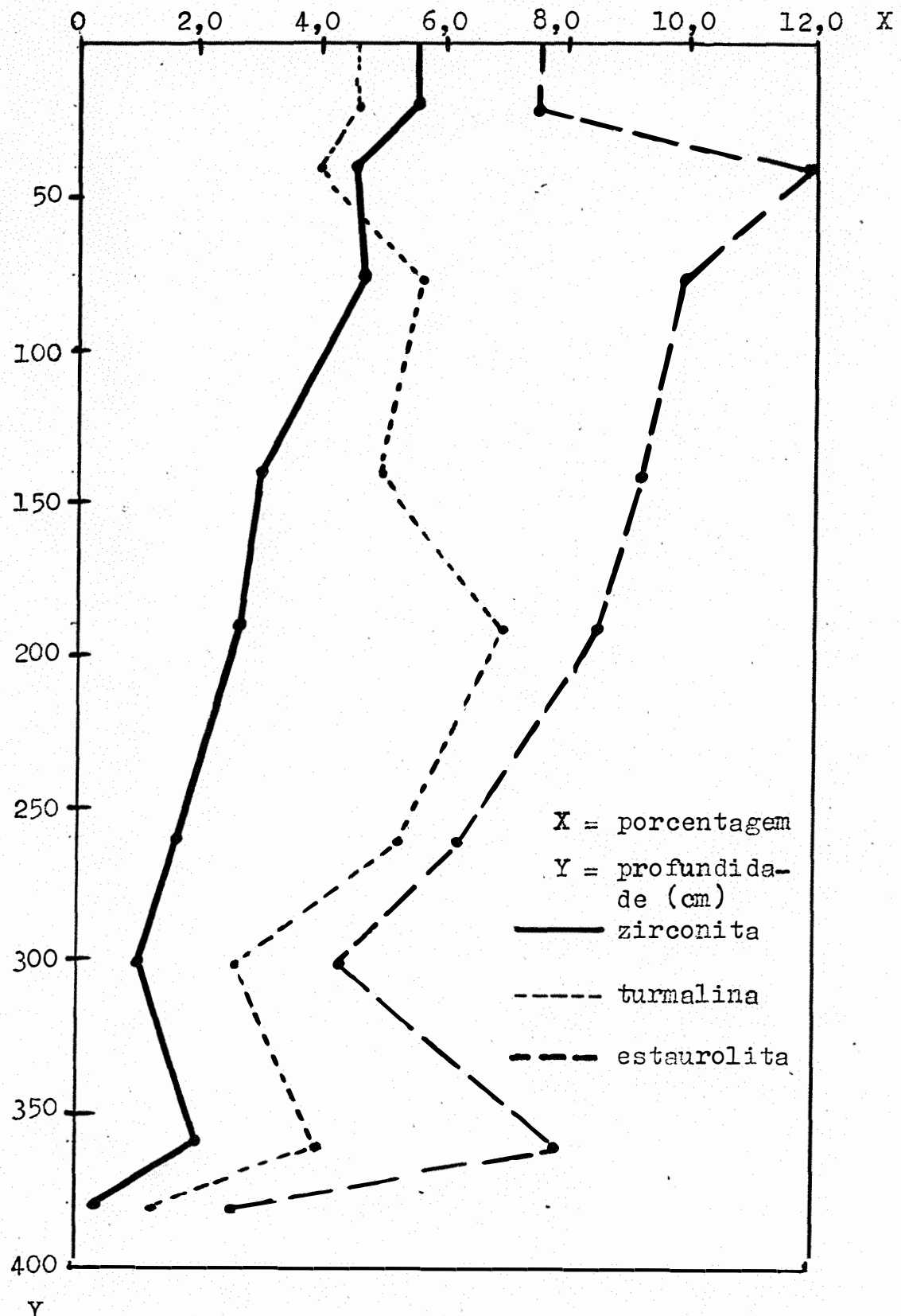


Figura 7 - Distribuição da porcentagem dos minerais Zircônia, Turmalina e Estaurolita do perfil de solo P<sub>3</sub>, em função da profundidade do solo.

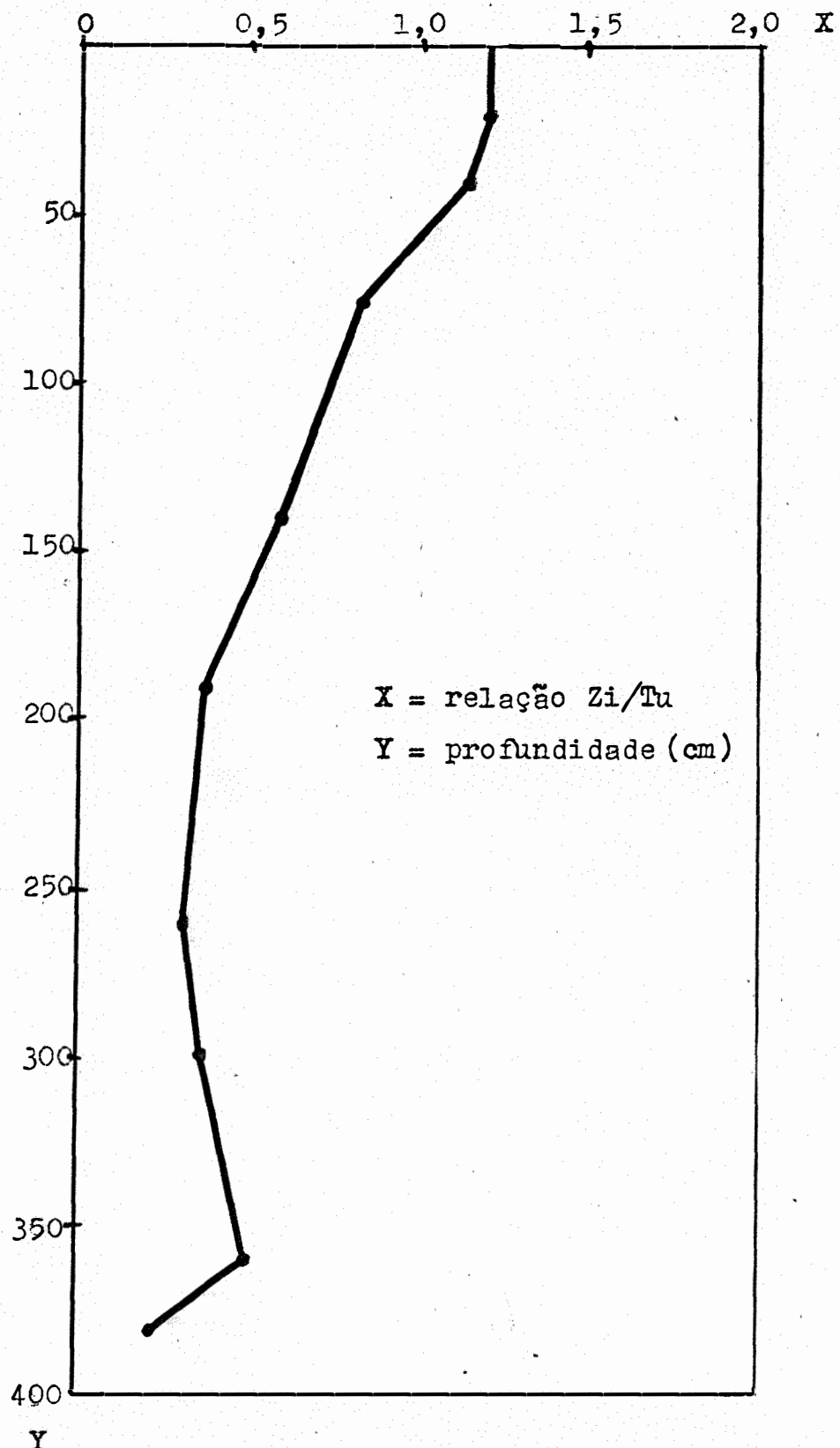


Figura 8 - Distribuição da relação Zirconita/Turmalina do perfil de solo P<sub>3</sub>, em função da profundidade do solo.

O perfil P<sub>4</sub> apresenta, de modo análogo ao perfil P<sub>3</sub>, além dos minerais opacos (magnetita e ilmenita), da zirconita e da turmalina, o mineral estaurolita, também em porcentagem significativa, e sua distribuição no perfil é bastante variável. Seus valores extremos são: 7,3% (horizonte B21t) e 15,3% (horizonte Ap, Quadro 8). O mineral zirconita também sofre grande variação, de acordo com a profundidade do solo. Seus valores extremos são: 2,3% (horizonte IIC<sub>2</sub>) e 11,6% (horizonte B22t, Quadro 3). A curva correspondente à porcentagem de zirconita (Figura 9) mostra três fortes inflexões: a primeira aos 60 cm, a segunda aos 90 cm e a terceira aos 360 cm de profundidade. A turmalina também se apresenta com bastante variação, de acordo com a profundidade do perfil. Seus valores mínimo e máximo são, respectivamente, 5,3% (horizonte B23t) e 17,3% (horizonte B21t, Quadro 8). A curva relativa à distribuição da porcentagem de turmalina no perfil (Figura 9) cresce bruscamente aos 60 cm e decresce, também bruscamente, até aos 170 cm de profundidade para, em seguida, crescer até 360 cm, onde atinge um máximo e, imediatamente, decrescer até a profundidade de 400 cm.

A relação zirconita/turmalina apresenta os seguintes valores extremos: 0,24 (horizonte IIC<sub>2</sub>) e 1,00 (horizonte B22t, Quadro 8). A curva representativa da relação zirconita/turmalina (Figura 10) mostra duas inflexões, que comprovam a existência de duas descontinuidades litológicas às profundidades de 90 e 360 cm (BREWER, 8).

Através da análise mecânica da areia total do perfil P<sub>4</sub>, ítem 4.1, nota-se que a distribuição do tamanho das partículas não é uniforme com a profundidade do solo, o que sugere a presença de descontinuidades litológicas (SOIL SURVEY STAFF, 52 ; FOSS e RUST, 18 ).

Entretanto, a descrição morfológica do perfil P<sub>4</sub>, só menciona uma descontinuidade aos 360 cm, em vista da

QUADRO 8 - Porcentagens de estaurolita, zirconita, turmalina e relação Zi/Tu do Perfil P4

Horizonte	Profundidade (cm)	Resultados em porcentagem			Zi/Tu *
		Estaurolita	Zirconita	Turmalina	
Ap	0 - 20	15,3	7,0	14,0	0,50
B21t	20 - 60	7,3	10,3	17,3	0,59
B22t	60 - 90	12,0	11,6	11,6	1,00
B23t	90 - 170	10,0	2,6	5,3	0,49
B31	170 - 240	10,0	3,0	3,0	0,37
B32	240 - 315	14,0	3,0	9,0	0,33
II C1	315 - 360	14,3	3,6	9,0	0,40
II C2	360 - 400	10,9	2,3	9,3	0,24

(\*) Zi/Tu = Zirconita / Turmalina.

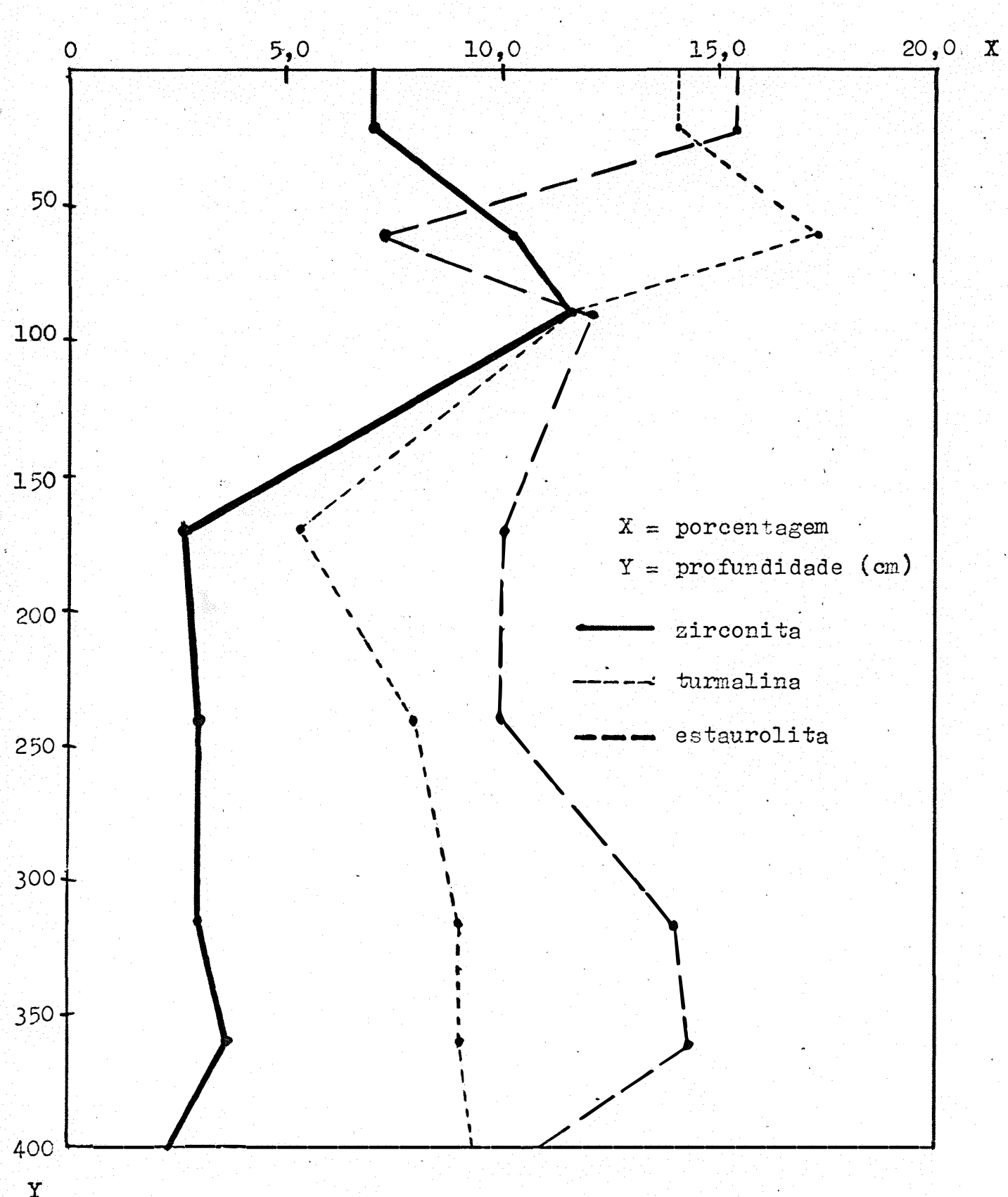


Figura 9 - Distribuição da porcentagem dos minerais Zirconita, Turmalina e Estaurolita no perfil de solo P4, em função da profundidade do solo.

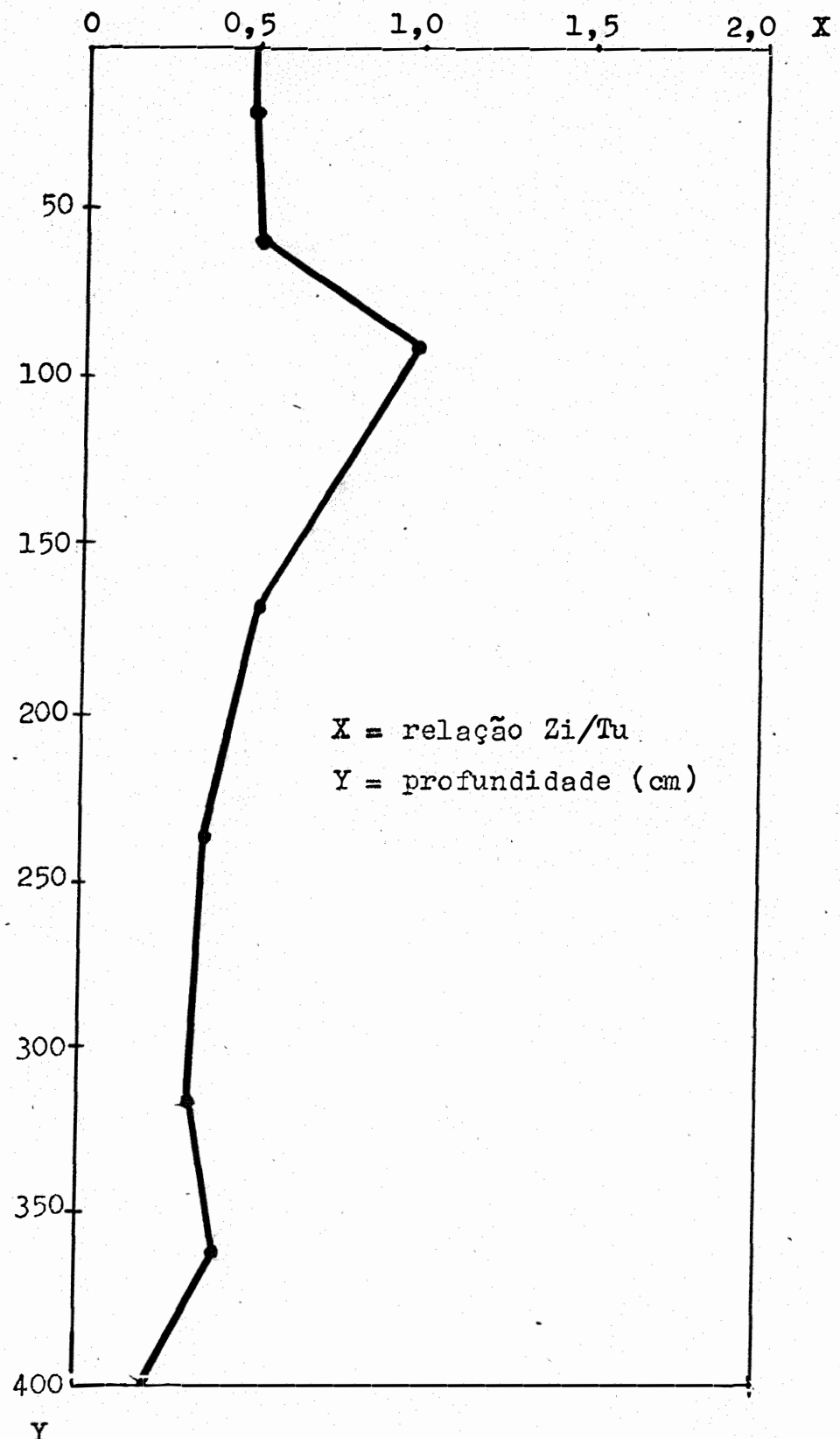


Figura 10 - Distribuição da relação Zirconita/Turmalina do perfil de solo P4, em função da profundidade do solo.

associação com uma linha de pedras (RUHE, 46 ), deixando de mencionar a existente aos 90 cm de profundidade. Mais uma vez evidencia-se o fato de que uma descrição morfológica deve ser complementada em laboratório, por meio de análises mineralógicas.

A designação da sequência de horizontes do perfil P<sub>4</sub>, fica, portanto, alterada, passando a ser: Ap, B<sub>2lt</sub>, IIB<sub>22t</sub>, IIB<sub>23t</sub>, IIB<sub>31</sub>, IIB<sub>32</sub>, IIIC<sub>1</sub>, III<sup>c</sup>C<sub>2</sub>.

Nos perfis P<sub>3</sub> e P<sub>4</sub>, constatou-se a presença do mineral estaurolita, em porcentagem significativa. Entretanto, até o presente, não foi encontrada, na literatura consultada, nenhuma relação entre os teores de estaurolita e a uniformidade do perfil. Sabe-se, no entanto, que a estaurolita é um mineral típico de rochas metamórficas, e a sua presença nos perfis acima mencionados sugere que êstes solos sofreram contribuições de rochas metamórficas. Tal fato pode ser observado no trabalho de MEDEIROS (35) onde, à página 36 e com referência ao perfil P<sub>3</sub>, o referido autor cita que: "... a unidade RP<sub>7</sub> é um solo retrabalhado ...", e, referindo-se ao perfil P<sub>4</sub>, à página 34, o mesmo autor diz: "A ocorrência de folhelhos como substrato rochoso desta unidade não significa que ela foi originada in situ".

Por outro lado, observando-se as variações da curva representativa da porcentagem de estaurolita, em ambos os perfis (Figuras 7 e 9), nota-se que o comportamento da mesma é semelhante ao da zirconita e da turmalina, isto é, sofre inflexões, de uma maneira geral, às mesmas profundidades. Talvez, com um estudo maior de perfis, seja possível encontrar uma relação entre o teor deste mineral e a uniformidade ou não do solo.

A análise dos minerais leves de quase todos os horizontes dos perfis aqui estudados revelou uma porcentagem máxima de quartzo (100%) e, em vista da irrigação porcentagem

de feldspato (0,1% em alguns horizontes dos perfis P<sub>3</sub> e P<sub>4</sub>), tornou-se impossível estabelecer a relação quartzo/feldspato, um dos objetivos iniciais do presente trabalho.

Como se pode observar, o conteúdo mineralógico dos perfis de solos aqui estudados é muito simples, e baseado na afirmação de PETTIJOHN (12) de que: "quanto mais antigo fôr o sedimento, mais simples é o seu conteúdo mineralógico, predominando os minerais mais estáveis", pode-se afirmar que os solos em questão têm um alto grau de maturidade.

## 5 - CONCLUSÕES

Nas condições em que o trabalho foi realizado, com material e métodos empregados, os dados obtidos, analisados e interpretados, permitiram as seguintes conclusões:

- A utilização dos dados da análise granulométrica, para a constatação de descontinuidades litológicas, deve ser analisada cautelosamente.
- A não ocorrência de mudanças bruscas na distribuição do tamanho das partículas da areia total, de acordo com a profundidade, não assegura a homogeneidade do perfil.
- O simples conteúdo mineralógico, tanto de minerais leves como de pesados, revela o alto grau de maturidade dos solos estudados.
- Para o estudo de gênese e de classificação de solos, a descrição morfológica deve ser complementada em laboratório, por meio de análises mineralógicas.
- A descontinuidade litológica nem sempre está associada à presença de linha de pedras.
- Os perfis P<sub>3</sub> e P<sub>4</sub> sofreram contribuições de origem metamórfica, evidenciadas pela presença de estaurolita.
- O perfil P<sub>1</sub> apresenta duas descontinuidades litológicas, a profundidades de 100 e 373 cm. e, consequentemente, a sequência de horizontes torna-se: Ap, B<sub>1</sub>, IIB<sub>21</sub>, IIB<sub>22</sub> sup., IIB<sub>22</sub> inf., IIB<sub>23</sub>, IIC<sub>1</sub>, III<sub>C2</sub>, III<sub>C3</sub>, III<sub>C3</sub>(trado), III<sup>R</sup>.

- O perfil P<sub>2</sub> apresenta três descontinuidades litológicas, a profundidades de 180, 205 e 310 cm e, consequentemente, a sequência de horizontes torna-se: Ap, A<sub>3g</sub>, B<sub>2g</sub>, B<sub>3g</sub>, IIC<sub>1g</sub>, IIIIC<sub>2g</sub>, IIIIC<sub>3g</sub>, IVC<sub>4g</sub>, IVC<sub>5g</sub>, IVR.
- O perfil P<sub>3</sub> apresenta duas descontinuidades litológicas, a profundidades de 75 e 360 cm e, consequentemente, a sequência de horizontes torna-se: Ap, A<sub>3</sub>, II<sup>B</sup><sub>21t</sub>, II<sup>B</sup><sub>22t</sub>, II<sup>B</sup><sub>3</sub>, IIIC<sub>1</sub>, IIIC<sub>2</sub>, IIIIC<sub>3</sub>, IIIIC<sub>4</sub>.
- O perfil P<sub>4</sub> apresenta duas descontinuidades litológicas, a profundidades de 90 e 360 cm e, consequentemente, a sequência de horizontes torna-se: Ap, B<sub>21t</sub>, II<sup>B</sup><sub>22t</sub>, II<sup>B</sup><sub>23t</sub>, II<sup>B</sup><sub>31</sub>, II<sup>B</sup><sub>32</sub>, IIIC<sub>1</sub>, IIIIC<sub>2</sub>.

## 6 - RESUMO

O presente trabalho teve como objetivo o estudo de quatro perfis de solos da região de Piracicaba, Estado de São Paulo. Foram pesquisadas as características morfológicas, granulométricas e mineralógicas, tendo-se como finalidades: a) importância, para o estudo de gênese e de classificação de solos, da análise mineralógica como complemento à morfologia de campo; b) o estudo da granulometria da areia total, com o fim de comprovar ocorrências de descontinuidades litológicas; c) a associação de linha de pedras com descontinuidades litológicas; d) o estudo da relação zirconita/turmalina em função da uniformidade do solo.

Os perfis aqui estudados, denominados  $P_1$ ,  $P_2$ ,  $P_3$  e  $P_4$ , totalizam 38 horizontes. Obtidas as amostras de solos, procederam-se as análises mecânica e mineralógica.

Para ambas as análises, foram eliminados os sais solúveis, cátions divalentes trocáveis, matéria orgânica,  $MnO_2$  e óxidos de ferro livres. Posteriormente, foi levado a efeito a dispersão e separação da areia.

Para a análise granulométrica, a areia total foi dividida em cinco frações: areia muito grossa, areia grossa, areia média, areia fina e areia muito fina. Esta divisão revelou a areia fina como a fração representativa, ou "moda", e a areia muito fina, como o componente de maior quantidade logo após a "moda". Os dados referentes à análise granulométrica revelam que os perfis  $P_1$  e  $P_3$  apresentam resultados uniformes, diferindo, porém, dos perfis  $P_2$  e  $P_4$ . A utilização destes dados, para constatação de descontinuidades litológicas,

deve ser analisada cuidadosamente, e sempre associada com análises mineralógicas.

Para a análise mineralógica, a fração representativa, ou "moda", foi escolhida para a separação dos minerais leves e pesados, caracterização e contagem das espécies minerais.

Os dados referentes à análise dos minerais leves revelaram a presença dominante do quartzo em todos os perfis.

Os resultados da análise dos minerais pesados, através da relação zirconita/turmalina, revelaram descontinuidades litológicas em todos os perfis de solos estudados, e que nem sempre certas descontinuidades litológicas estavam associadas com a presença de linha de pedras.

## 7 - SUMMARY

This work had the scope to show the study of four soil profiles of the land of Piracicaba, in the state of São Paulo. Morphological, mineralogical and granulometrical characteristics were researched, in the purpose of: a) the importance for the study of the genesis and soil classification of the mineralogical analysis as a complement to the field morphology; b) the study of mechanical analysis of total sand in order to prove the occurrence of lithological discontinuities; c) the association of stone lines with lithological discontinuities; d) the study of relationship zircon/tourmaline in function of the soil uniformity.

The profiles studied here, named P<sub>1</sub>, P<sub>2</sub>, P<sub>3</sub> and P<sub>4</sub>, totalize 38 horizons. Once we have got the samples of soil, mineralogical and mechanical analyses were researched.

For both analyses, soluble salts, exchangeable divalent cations, organic matter, free MnO<sub>2</sub> and iron oxids were eliminated. Lately, it was made the dispersion and separation of the sand.

For the granulometrical analysis, the total sand was divided into five fractions: very coarse sand, coarse sand, medium sand, fine sand and very fine sand. This division revealed that the fine sand is the representative fraction, or mode, and the very fine sand as the component of larger quantity after the mode. The given results referring to the granulometrical analysis reveal that P<sub>1</sub> and P<sub>3</sub> profiles show uniform result, differing from P<sub>2</sub> and P<sub>4</sub> profiles,

as well. The use of these results, to prove the lithological discontinuities, should be analysed carefully, and always be associated with the mineralogical analyses.

For the mineralogical analysis, the representative fraction, or mode, was chosen for the separation of light minerals and heavy ones, characterization and counting of mineral species.

The result referring to the analysis of light minerals revealed the dominant presence of quartz in all profiles.

The results of the analysis of heavy minerals, through the relationship zircon/tourmaline showed lithological discontinuities in all the soil profiles of researched soils, and that, not always, certain lithological discontinuities were associated with the stone lines presence.

8 - BIBLIOGRAFIA

- 1 - AGUILERA, N.H. and JACKSON, M.L. - 1953 - Iron Oxide Removal from Soils and Clays. Soil Sci. Soc. Am. Proc. 17: 295 - 364.
- 2 - ALMEIDA, F.F.M. - 1950 - Uma Faunula de Crustáceos Bivalvos do Arenito Botucatu no Estado de São Paulo. Div. Geol. e Min., DNPM, Bol. 134. 36 pp.
- 3 - ALMEIDA, F.F.M. e BARBOSA, O. - 1953 - Geologia das Quadrículas de Piracicaba e Rio Claro, Estado de São Paulo. Div. Geol. e Min., DNPM, Bol. 143. 96 pp.
- 4 - ARNEMAN, H.F., KHAN, A.D. and Mc MILLER, P.R. - 1958 - Physical, Chemical and Mineralogical Properties of Related Minnesota Prairie Soils. Univ. Minn. Agr. Exp. Sta. Tech. Bull. 227. 47 pp.
- 5 - BEAVERS, A.H. - 1960 - Use of X-ray Spectrographic Analysis for the Study of Soil Genesis. Int. Congr. Soil Sci. Trans. 7th (Madison, Wis.). 2: 1-9.
- 6 - BREWER, ROY - 1955 - Mineralogical Examination of a Yellow Podzolic Soil Formed on Granodiorite. C.S.I.R.O.(Aust). Soil Publ. 5 28 pp.
- 7 - \_\_\_\_\_ - 1964 - Structure and Mineral Analysis of Soils. In C.I.Rich and G.W.Kunze (ed.). SOIL CLAY MINERALOGY: a symposium Univ. N.C. Press., Chapel Hill. 77-112.
- 8 - \_\_\_\_\_ - 1964 - Fabric and Mineral Analysis of Soils. New York. John Wiley and Sons, inc. 470 pp.

- 9 - BRAJNIKOV, B. - 1944 - Sur l'Importance de la Granulométrie pour l'Etude Quantitative des Minéraux Lourds dans un Sediment. Bull. Soc. Geol. France 14: 381-395.
- 10 - BUCKHANNAM, W.H. and HAM, W.E. - 1941 - Preliminary Investigation of Heavy Mineral Criteria as an Aid Identification of Certain Soils in Oklahoma. Soil. Soc. Am. Proc. 6 : 63-67.
- 11 - CARROLL, DOROTHY - 1936 - Heavy Mineral Assemblages of Soils from the Gold of Western Australia. Geol. Mag. 73: 503-511.
- 12 - CARVALHO, A.M.V. - 1954 - Contribuição ao Estudo Petrográfico do Arenito Botucatu no Estado de São Paulo. Bol. Soc. Bras. Geol. 3 (1): 51-72.
- 13 - COMISSÃO DE SOLOS DO C.N.E.P.A. - 1960 - Levantamento e Reconhecimento dos Solos do Estado de São Paulo. Bol. Ser. Nac. Pesq. Agr. 12. 634 pp.
- 14 - CRAMPTON, C.B. - 1961 - An Interpretation of the Micro-Mineralogy of Certain Glamorgan Soils: The Influence of Ice and wind. J. Soil. Sci. 12: 158-171.
- 15 - DANA - HURLBUT - 1969 - Manual de Mineralogia. Vol. I e II (tradução). 642 pp.
- 16 - DEMATTÉ, J.L.I. - 1970 - Gênese e Classificação de Solos Originados de Sedimentos do Grupo Geológico Estrada Nova - Piracicaba. Tese de Livre Docência. E.S.A. "Luiz de Queiroz". Piracicaba - Estado de São Paulo. 123 pp. (mimeografado).
- 17 - DRYDEN, L. and DRYDEN, G. - 1946 - Comparative Rates of Weathering of Some Common Heavy Minerals. J. Sed. Petrology. 16: 91 - 96, illus.

- 18 - FOSS, J.E. and RUST, R.H. - 1968 - Soil Genesis Study of Lithologic Discontinuity in Glacial Drift in western Wisconsin. *Soil Sci. Soc. Am. Proc.* 32: 394-396.
- 19 - FREITAS, R.O. - 1953 - Composição e Granulometria da Praia de São Sebastião, SP. *Bol. Soc. Bras. Geol.* 2: 29-36.
- 20 - \_\_\_\_\_ - 1955 - Sedimentação, Estratigrafia e Tectônica da Série Beuru. *Fac. Fil. Ciênc. Let., USP, Bol.* 194, *Geol.* 14. 185 pp.
- 21 - GOLDICH, S.S. - 1938 - A Study in Rock Weathering. *J. Geol.* 46: 17-58, illus.
- 22 - GORDON JR., M. - 1947 - Classificação das Formações Gondwânicas do Paraná, Santa Catarina e Rio Grande do Sul. Notas Preliminares e Estudos, DNPM, 38. 20 pp.
- 23 - GUERREIRO, G.P. - 1958 - Micromineralogia de Suelos, Sedimentos e Rochas Terciárias do Vale del Genil (Fuente Genil, Ecija). *Annales de Edaf. y Fisiol. Veg.* 9-10: 713-754.
- 24 - HASEMAN, J.F. and MARSHALL, C.E. - 1945 - The Use of Heavy Minerals in Studies of the Origin and Development of Soils. *Mo. Agr. Exp. Sta. Res. Bull.* 387. 60 pp.
- 25 - HUMBERT, R.P. and MARSHALL, C.E. - 1943 - Mineralogical and Chemical Studies of Soil Formation from Acid and Basic Rocks in Missouri. *Mo. Agr. Exp. Sta. Res. Bull.* 359. 60 pp.
- 26 - JACKSON, M.L. - 1956 - Chemical Analysis. Advanced Course. Pub. by the Author. Dept. of Soils, Univ. of Wis., Madison, Wis. U.S.A. 991 pp (mimografado).
- 27 - \_\_\_\_\_ and SHERMAN, G.D. - 1953 - Chemical Weathering of Minerals in Soils. *Advances in Agronomy.* 5: 219-318.

- 28 - JEFFRIES, C.D. - 1937 - The Mineralogical Composition of the Very Fine Sands of Some Pennsylvania Soils. *Soil Sci.* 43: 357-366.
- 29 - \_\_\_\_\_ and WHITE, J.W. - Some Mineralogical and Chemical Characteristics of a Hagerstown Soil Profile. *Soil Sci. Soc. Am. Proc.* 2: 133-141.
- 30 - KREBS, R.D. and TEDROW, J.C.F. - 1957 - Genesis of Three Soils Derived from Wisconsin Till in New Jersey. *Soil Sci.* 83: 207-218.
- 31 - KRUMBEIN, W.C. and PETTIJOHN, F.J. - 1938 - Manual of Sedimentary Petrography. Appleton Century-Crofts, Inc. New York, U.S.A. 549 pp.
- 32 - LEINZ, V. - 1938 - Estudos Petrográficos sobre os Arenitos de Anhembí, São Paulo. Min. e Met. II(11): 340-342.
- 33 - MARCONI, A. - 1969 - Contribuição ao Estudo da Mineralogia de Solos do Município de Piracicaba. Tese de Doutoramento apresentada na E.S.A. "Luiz de Queiroz", USP. 101 pp. (mimeografado).
- 34 - Mc CRACKEN, R.J. - 1968 - Applications of Soil Mineralogy to Soil Classification Investigations. MINERALOGY: *Soil Sci & Engineering.* 53-60.
- 35 - MEDEIROS, G.B. - 1971 - Gênese e Classificação de Alguns Solos da Bacia do Ribeirão das Palmeiras, Município de Rio das Pedras. Tese de M.S. E.S.A. "Luiz de Queiroz". Piracicaba - Estado de São Paulo. 70 pp (mimeografado).
- 36 - MEHRA, O.P. and JACKSON, M.L. - 1953 - Iron Oxide Removal from Soils and Clays by a Dithionite-Citrate System Buffered with Sodium Bicarbonate. *Proc. 7th Natl. Conf.*

- on Clays and Clay Minerals. Permagon Press., New York. 317-327.
- 37 - MELFI, A.J. - 1967 - Intemperismo de Granitos e Diabásios no Município de Campinas e Arredores, Estado de São Paulo. Tese de Doutoramento apresentada à Fac. Ciên. Let. USP. 166 pp. (mimeografado).
- 38 - \_\_\_\_\_, GIRARDI, V.A.V. e MONIZ, A.C. - 1966 - Mineralogia dos Solos da Estação Experimental "Theodoreto de Camargo". Bragantia. 25: 9-30.
- 39 - MEZZALIRA, S. - 1965 - Descrição Geológica e Geográfica das Fôlhas de Piracicaba e São Carlos, SP. Inst. Geogr. e Geol. Bol. 43. 41 pp.
- 40 - MILNER, H.B. - 1962 - Sedimentary Petrography. George Allen Unwin Ltd. London, England. 4<sup>a</sup> ed., 2 vols. 1358 pp.
- 41 - PARFENOVA, I. and YARILOVA, A. - 1958 - Problems and Methods of Microscopic and Mineralologic Soil Investigations. Soviet Soil Sci. 12: 1331-1338.
- 42 - PETTIJOHN, F.J. - 1941 - Persistence of Heavy Minerals and Geologic Age. Jour. Geol. 49: 610-625.
- 43 - RANZANI, G., FREIRE, O e KINJO, T - 1966 - Carta de Solos do Município de Piracicaba. E.S.A. "Luiz de Queiroz". Piracicaba. Est. S. Paulo. 83 pp. (mimeografado.)
- 44 - RODRIGUES DA SILVA, R. - 1964 - Determinações com o Microscópio Polarizante. Inst. Geol. Série Didática nº 5 - Univ. Fed. de Pe. 62 pp. ilust.

- 45 - RUHE, R.V. - 1956 - Geomorphic Surfaces and the Nature of Soils. Soil Sci. 82: 441-455.
- 46 - \_\_\_\_\_ - 1958 - Stone Lines in Soils. USDA. Soil Sci. 87: 223-231.
- 47 - \_\_\_\_\_ - 1967 - Geomorphologic of Parts of the Greenfield Quadrangle, Adair County, Iowa. Technical Bull. 1349: 93-161.
- 48 - SEALE, R.S. - 1956 - The Heavy Minerals of Some Soils from the Neighbourhood of Cambridge, England. Soil Sci. 7: 307-316.
- 49 - SETZER, J. - 1949 - Os Solos do Estado de São Paulo. Pub. nº 6 da série "A". C.N.G. Rio de Janeiro. IBGE.
- 50 - SMITHSON, F. - 1941 - Alternation of Detrital Minerals in the Mesozoic Rocks of Yorkshire. Geol. Mag. 78: 97-112.
- 51 - \_\_\_\_\_ - 1953 - The Micro-Mineralogy of North Wallis Soils. J. Soil Sci. 4: 124-210.
- 52 - SOIL SURVEY STAFF - 1962 - Soil Survey Manual. USDA. Handbook nº 18. Soil Conservation Service.
- 53 - \_\_\_\_\_ - 1960 - Soil Classification - A Comprehensive System. 7th Approximation. Soil Conservation Service. USDA.
- 54 - \_\_\_\_\_ - 1967 - Supplement to Soil Classification System (7th Approximation). Second Printing - Soil Conservation Service. USDA.
- 55 - TWENHOFEL, W.H. and TYLER, S.A. - 1941 - Methods of Study of Sediments. McGraw-Hill Book Company. Inc. New York, USA, 183 pp.

56 - WAHLSTROM, E.E. - 1969 - Cristalografia Ótica. 367 pp.  
(tradução).

57 - WEYL, R. - 1952 - Studies of Heavy Minerals in Soil Profiles. Z. Pflernahr., Dung., Bodenkunde. 57: 135-141.